

to all'asse  $x$ , sia il baricentro  $G$  che il centro di taglio  $C$  sono ubicati su  $x$ . La relazione dei momenti statici rispetto ad una retta, per esempio  $DE$  (orientata come  $y$ ) fornisce la posizione di  $G$ :

$$A = 16 a \delta$$

$$S_{DE} = 2 \cdot 6 a \delta \cdot a + a \delta \cdot 2 a = 14 a^2 \delta$$

$$d_{G \cdot DE} = \frac{S_{DE}}{A} = \frac{7}{8} a .$$

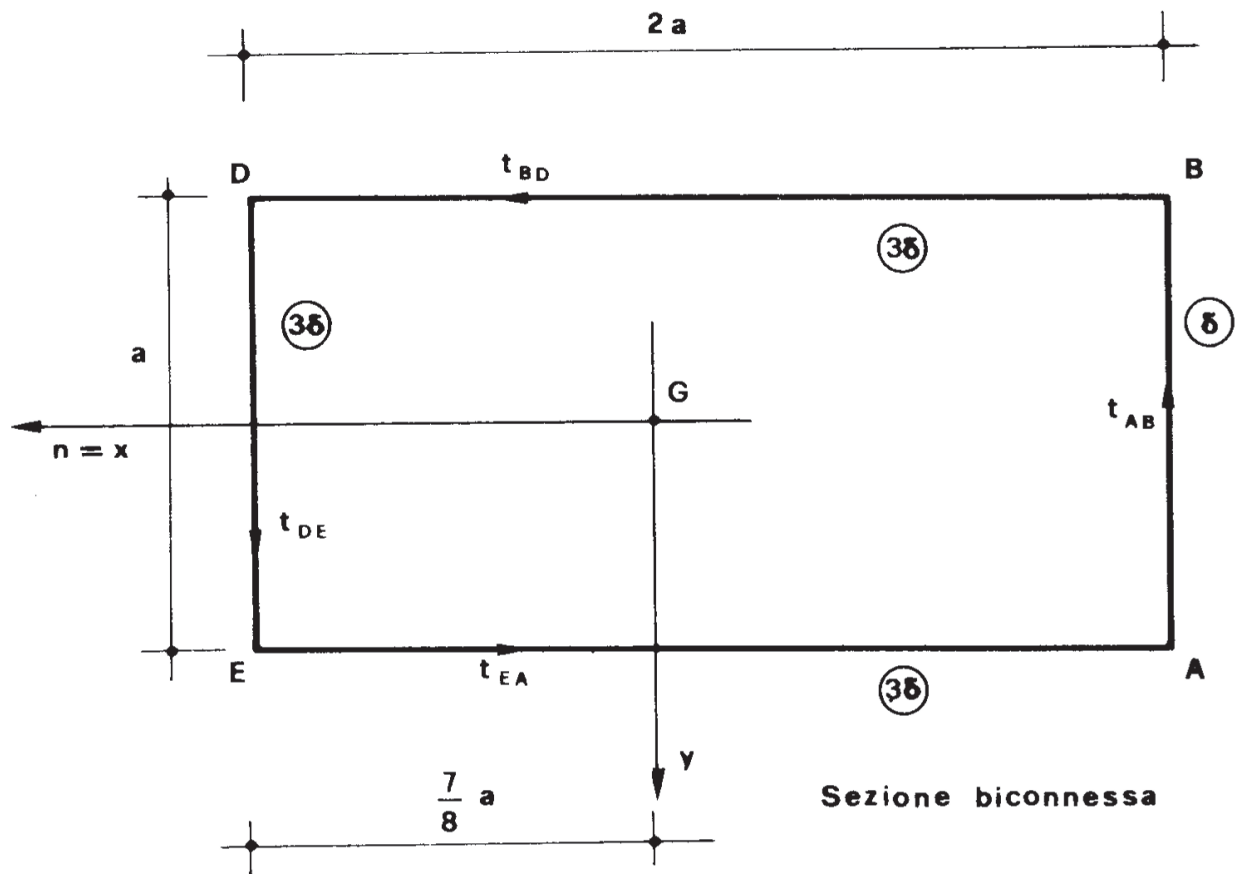
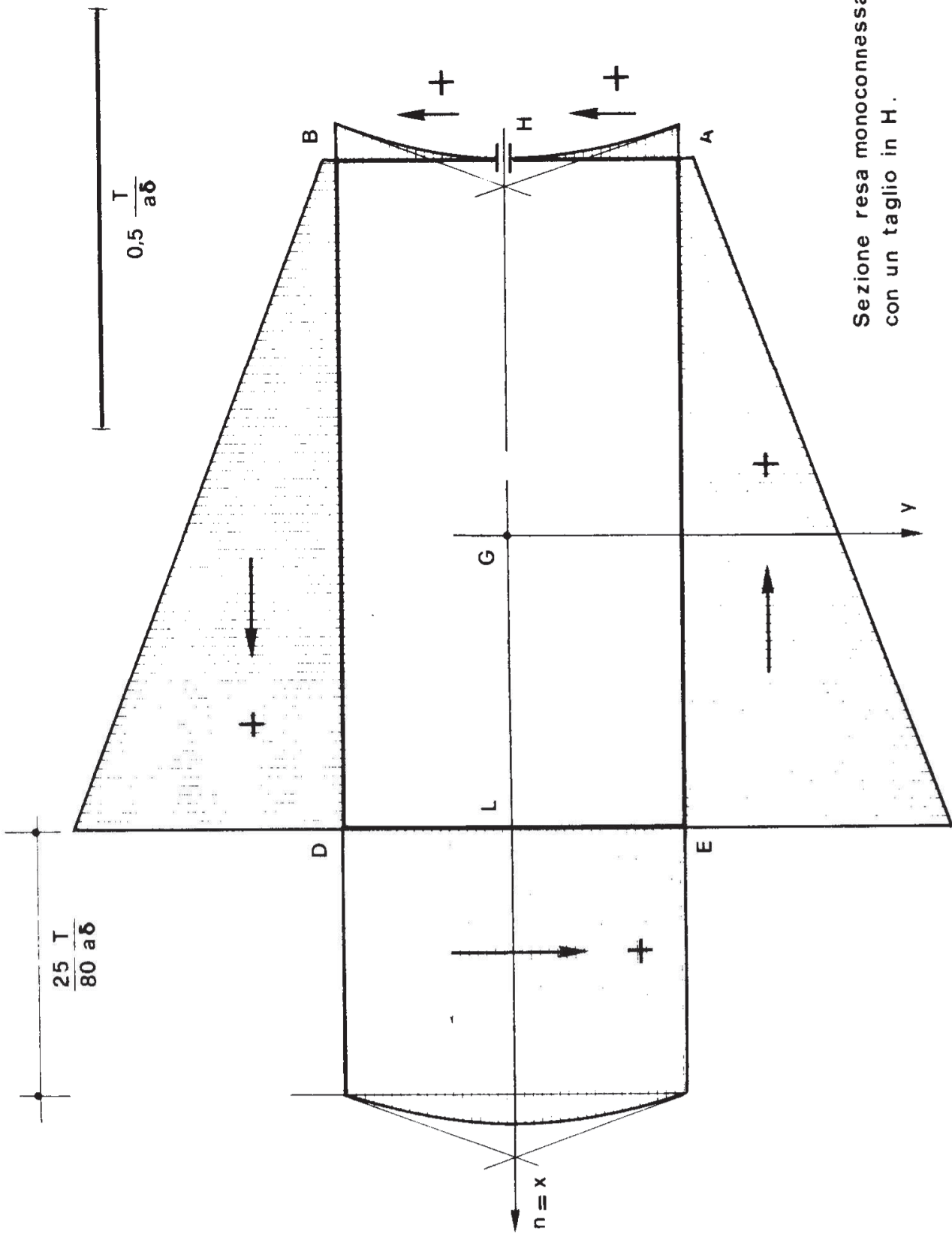


Figura 12a

E' sufficiente, per la ricerca di  $C$ , operare su un solo asse neutro, che conviene sia  $x$ . Risulta

$$I_x = 2 \cdot 6 a \delta \cdot \left( \frac{a}{2} \right)^2 + \frac{3 \delta a^3}{12} + \frac{\delta a^3}{12} = \frac{10}{3} \delta a^3 .$$



Sezione resa monoconnessa con un taglio in H.

Figura 12b

Per ottenere il diagramma delle  $\tau$  si opera un taglio in  $H$ , rendendo la sezione monoconnessa (fig. 12b). Si ha così ( $T_f = T$ )

$$\begin{aligned}\tau_H &= & &= 0 \\ \tau_{BA} &= \frac{T}{I_x \delta} \cdot \frac{a \delta}{2} \cdot \frac{a}{4} & &= \frac{3}{80} \frac{T}{a \delta} \\ \tau_{BD} &= \frac{\tau_{BA}}{3} & &= \frac{1}{80} \frac{T}{a \delta} \\ \tau_{DB} &= \tau_{BD} + \frac{T}{3 I_x \delta} \cdot 6a \delta \cdot \frac{a}{2} & &= \frac{25}{80} \frac{T}{a \delta} \\ \tau_{DE} &= \tau_{DB} \\ \tau_L &= \tau_{DB} + \tau_{BH} & &= \frac{28}{80} \frac{T}{a \delta}.\end{aligned}$$

Tale diagramma è in equilibrio con  $T$  sulla sezione chiusa. Un diagramma  $\tau(s)$  come quello della fig. 12c è anch'esso in equilibrio sulla sezione chiusa, per  $T = 0$  infatti per esso deve essere  $\text{div } \tau = 0$ , essendo già nel primo soddisfatta la (33). Quindi la somma delle  $\tau(s)$  della fig. 12b, e delle  $\tau(s)$  della fig. 12c, soddisfa il problema se è soddisfatta la congruenza. Lo spostamento relativo  $\Delta w$  in  $H$  è pari a

$$\int_m \gamma ds - \frac{1}{G} \int_m \tau ds, \quad (54)$$

dove l'integrale è esteso alla linea media  $m$ : quindi la *condizione di congruenza* è

$$\int_m \tau ds = 0; \quad (55)$$

essa non è altro che l'espressione del *teorema di Stokes* in riferimento alla linea chiusa  $m$ , ed all'insieme vettoriale delle  $\tau$  da taglio, cui si associa rotore nullo.

Giova osservare che la (55) si traduce *nell'annullarsi dell'area del diagramma  $\tau(s)$* .

Operando sulle  $\tau (s)$  della fig. 12b si ha

$$\int_m \tau ds = \left[ \frac{1}{3} \frac{3}{80} + \frac{2}{3} \frac{3}{80} + \frac{25}{80} + \frac{4}{2} \left( \frac{1}{80} + \frac{25}{80} \right) \right] \frac{T}{\delta} = \frac{T}{\delta} ;$$

operando sulle  $\tau (s)$  della fig.12c si ha

$$\int_m \tau ds = \tau_H a + \frac{\tau_H}{3} \cdot 5a = \frac{8}{3} a \tau_H ;$$

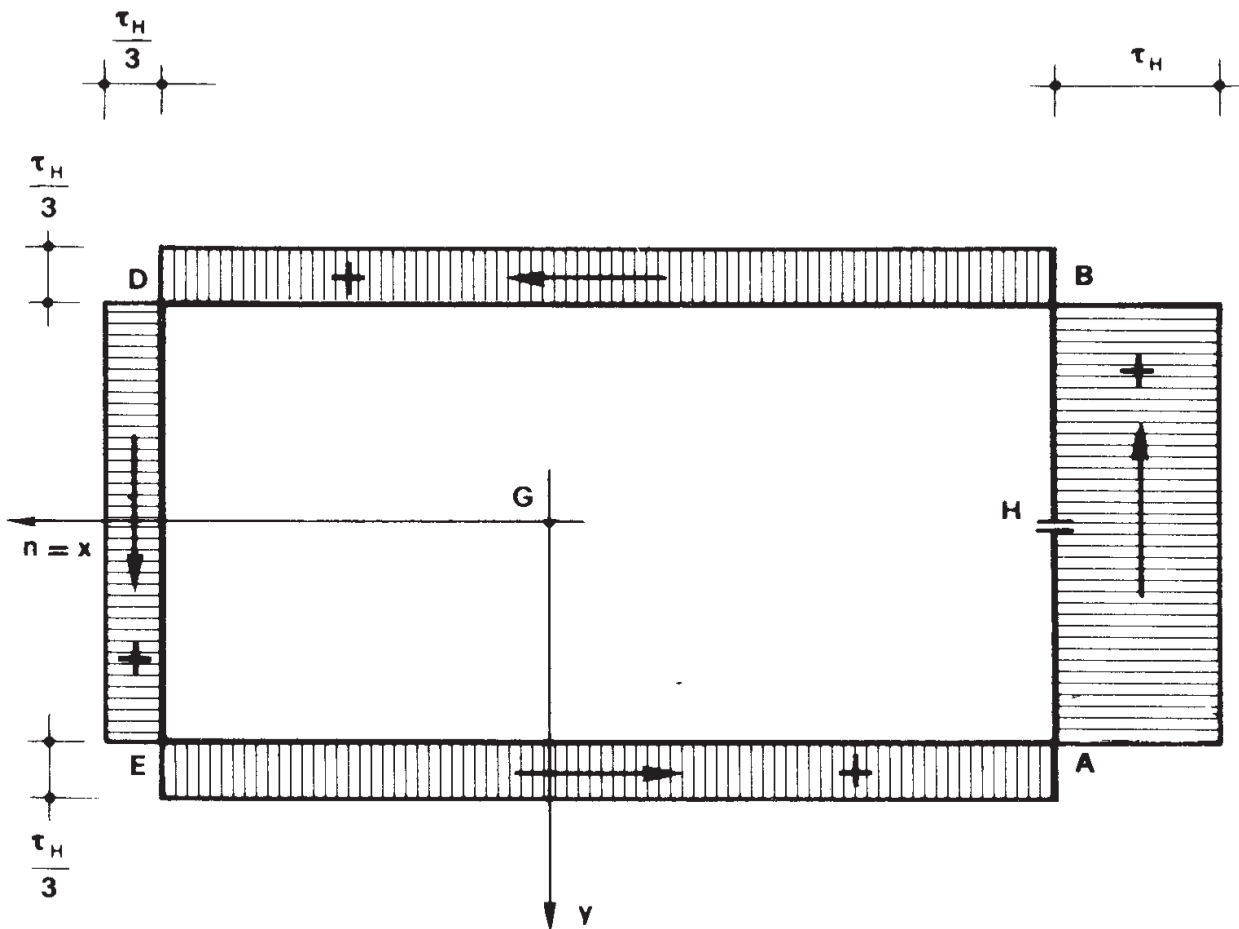


Figura 12c

quindi la (55) si traduce nella

$$\frac{T}{\delta} + \frac{8}{3} a \tau_H = 0$$

da cui

$$\tau_H = -\frac{3}{8} \frac{T}{a\delta}.$$

Si ha pertanto

$$\tau_H = -\frac{30}{80} \frac{T}{a\delta}$$

$$\tau_{BA} = \left( \frac{3}{80} - \frac{30}{80} \right) \frac{T}{a\delta} = -\frac{27}{80} \frac{T}{a\delta}$$

$$\tau_{BD} = \left( \frac{1}{80} - \frac{10}{80} \right) \frac{T}{a\delta} = -\frac{9}{80} \frac{T}{a\delta}$$

$$\tau_{DB} = \left( \frac{25}{80} - \frac{10}{80} \right) \frac{T}{a\delta} = \frac{15}{80} \frac{T}{a\delta}$$

$$\tau_{DE} = \tau_{DB} = \frac{15}{80} \frac{T}{a\delta}$$

$$\tau_L = \left( \frac{28}{80} - \frac{10}{80} \right) \frac{T}{a\delta} = \frac{18}{80} \frac{T}{a\delta}.$$

Le risultanti parziali delle  $\tau \delta ds$  sono (fig. 12e)

$$T_{AB} = \left( \frac{27}{80} + \frac{2}{3} \frac{3}{80} \right) T = \frac{29}{80} T$$

$$T_{BD} = \frac{1}{2} \left( -\frac{9}{80} + \frac{15}{80} \right) 6T = \frac{18}{80} T$$

$$T_{DE} = \left( \frac{15}{80} + \frac{2}{3} \frac{3}{80} \right) 3T = \frac{51}{80} T.$$

La risultante  $T$  agisce all'ascissa  $x_c$  fornita dall'equazione di equivalenza alla rotazione intorno a  $D$ :

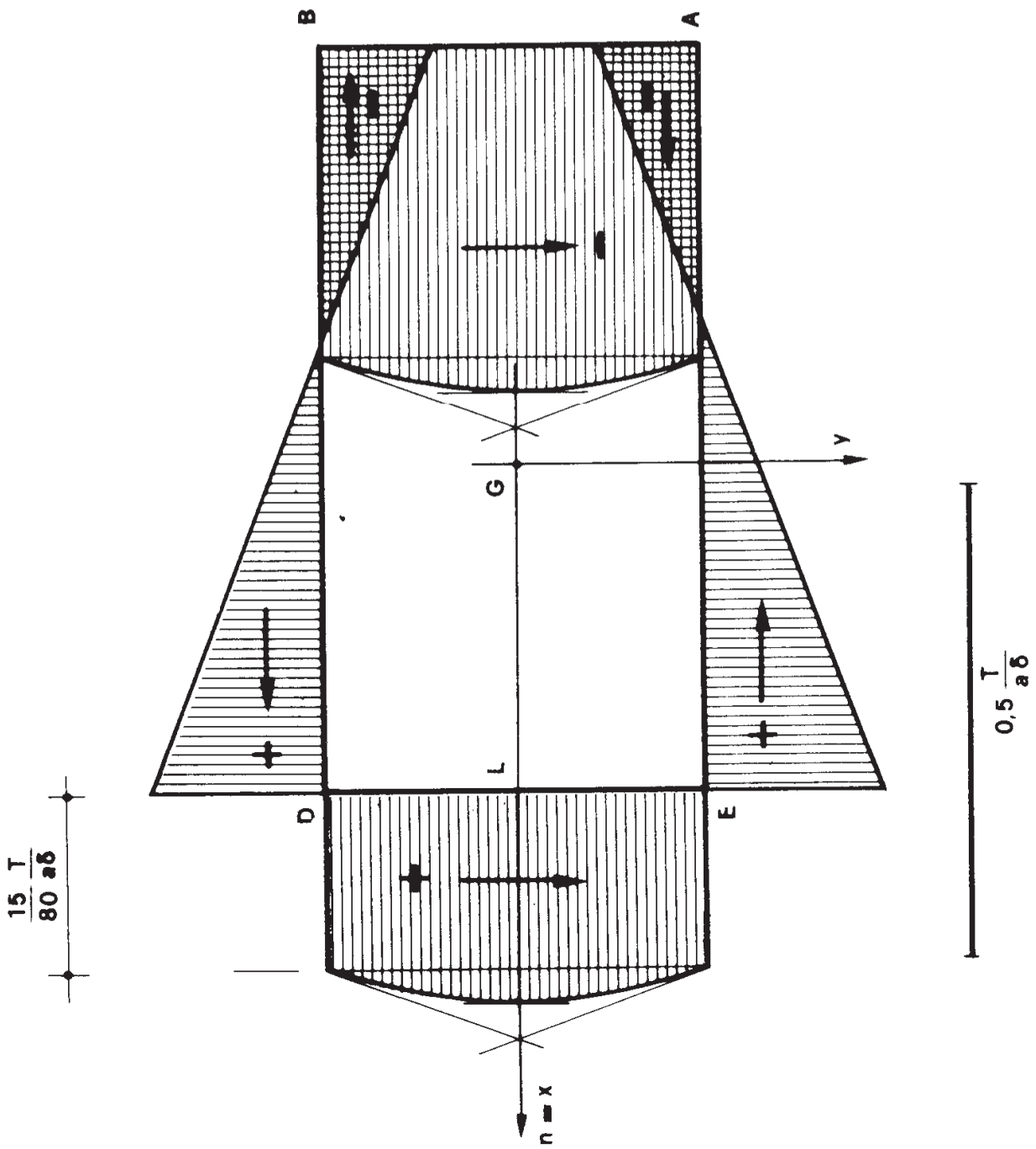


Figura 12d

$$-\frac{29}{80} T \cdot 2a + \frac{18}{80} T \cdot a = -T \left( \frac{7}{8} a - x_c \right)$$

da cui

$$x_c = \frac{3}{8} a .$$

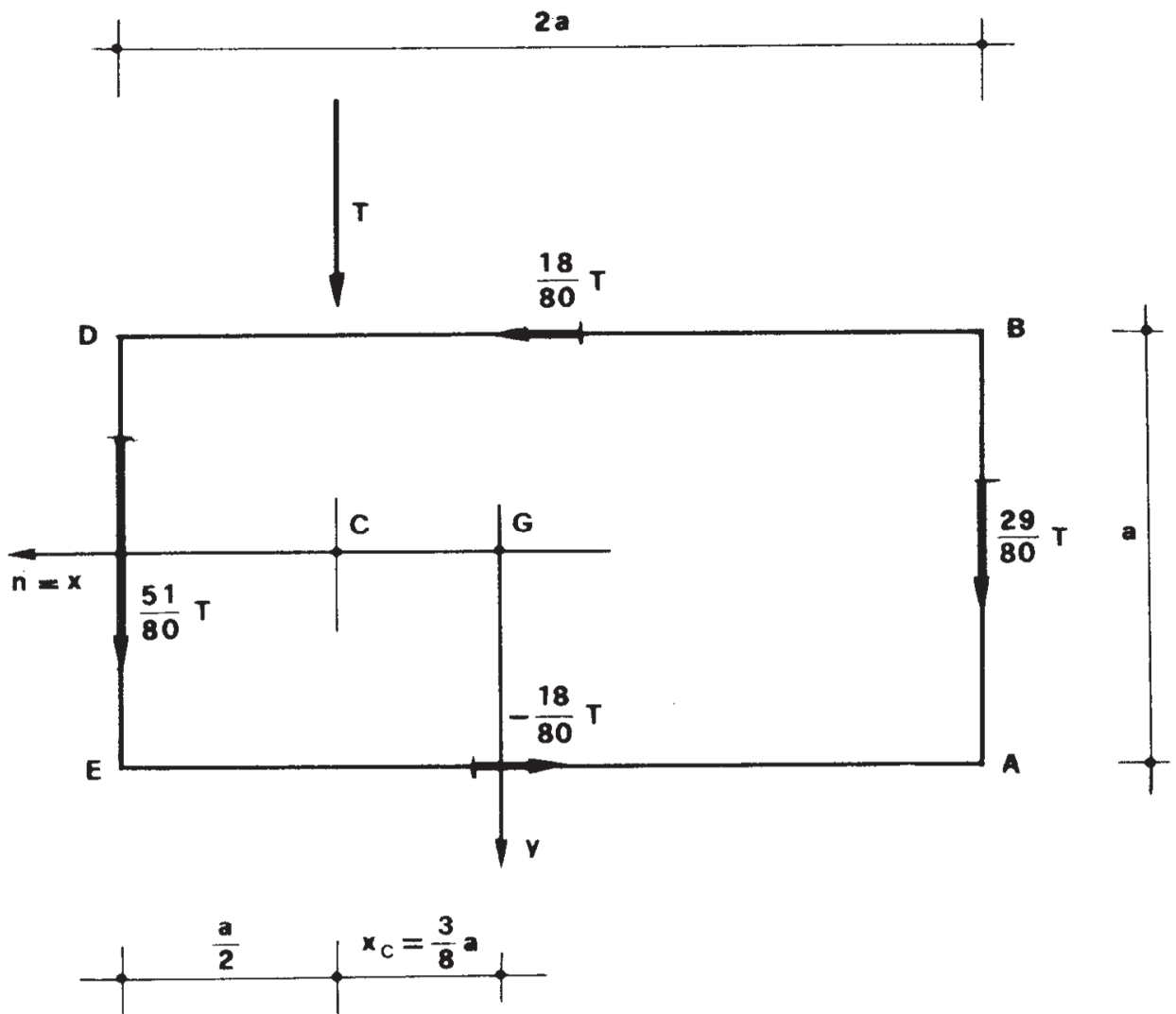


Figura 12e

**Problema n. 13.**

La sezione della fig.13a è triconnessa; essa è simmetrica rispetto all'asse  $x$ , e perciò su  $x$  giacciono sia il baricentro  $G$  che il centro di taglio  $C$ . Risulta  $A = 22 a \delta$ .

La relazione dei momenti statici rispetto alla  $BA$  (orientata come  $y$ ) si scrive

$$S_{BA} = 2 \cdot 8a\delta \cdot a + a\delta \cdot a + a\delta \cdot 2a = A \cdot d_{G \cdot BA}$$

da cui

$$d_{G \cdot BA} = \frac{19}{22} a .$$

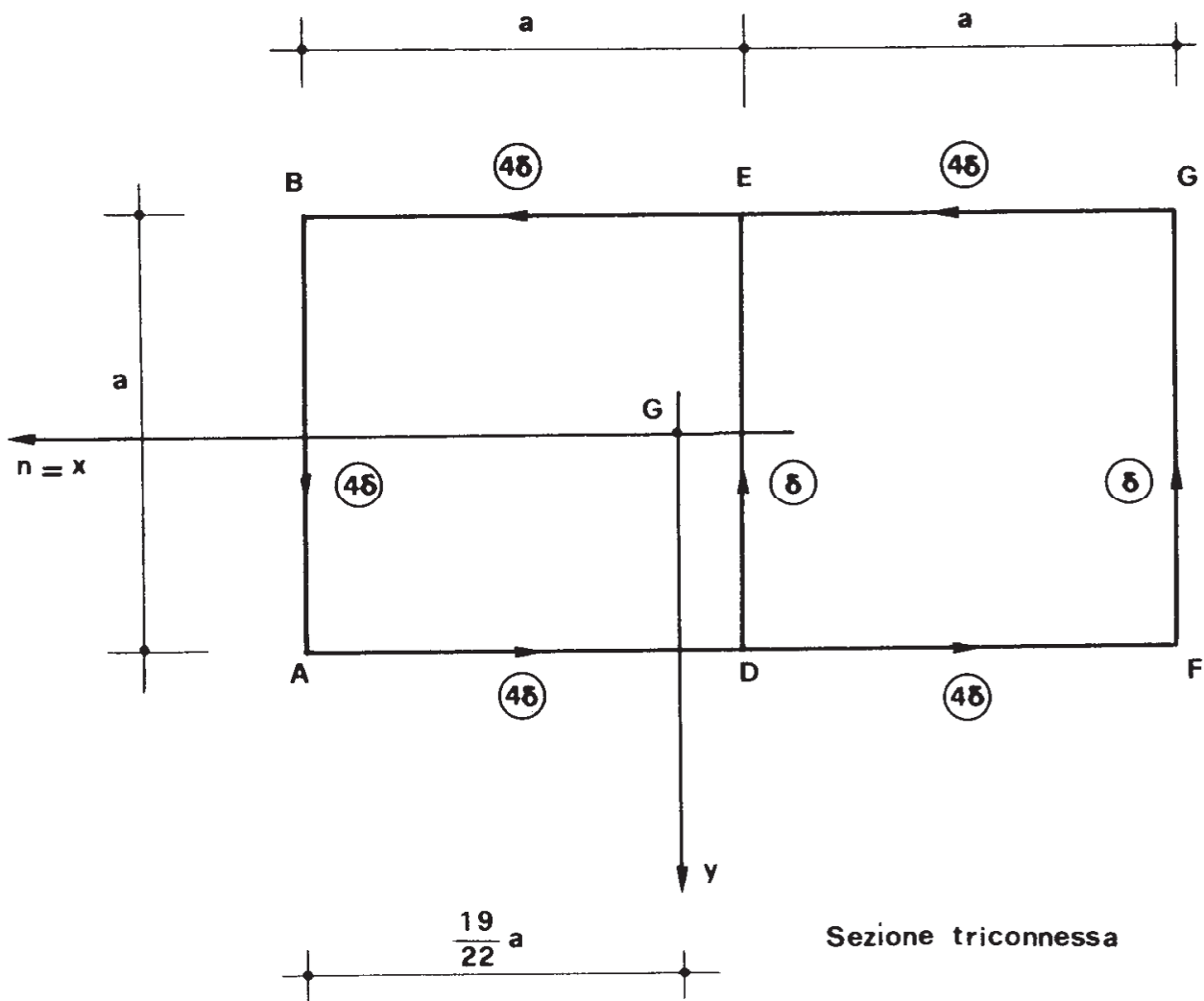


Figura 13a

Per ottenere  $C$  basta tracciare le  $\tau$  ( $s$ ) connesse con un solo asse neutro; conviene assumere  $n = x$ . In relazione a tale asse risulta

$$I_x = 2 \cdot 8a\delta \cdot \left(\frac{a}{2}\right)^2 + \frac{6\delta a^3}{12} = \frac{9}{2} \delta a^3 .$$

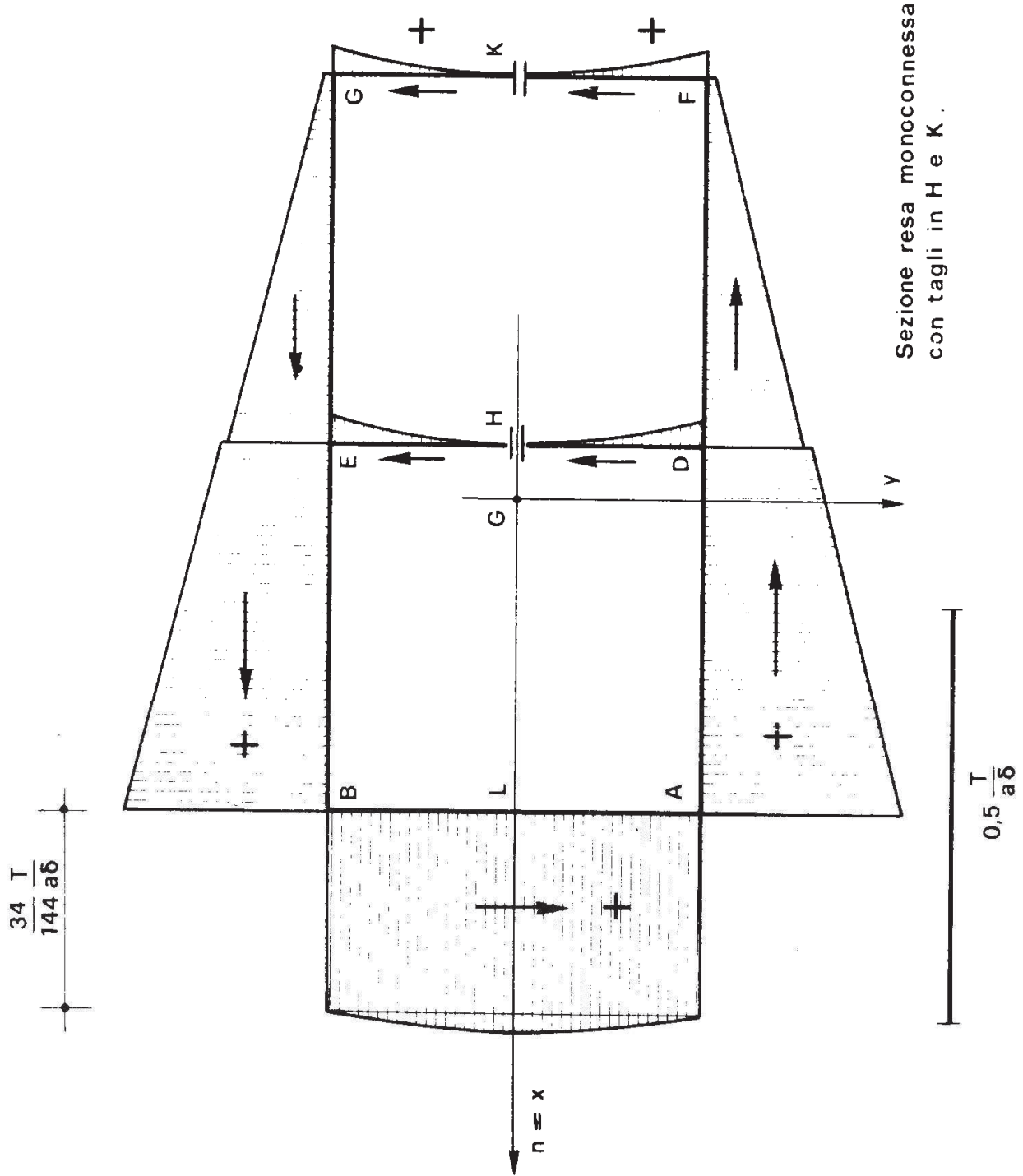


Figura 13b

Si esegue prima lo studio per la sezione resa monoconnessa con due tagli in  $H$  e  $K$  (fig. 13b). Per essa risulta ( $T_f = T$ )

$$\begin{aligned}\tau_H &= \tau_K &&= 0 \\ \tau_{GK} &= \frac{T}{I_x \delta} \cdot \frac{a \delta}{2} \cdot \frac{a}{4} = \frac{1}{36} \frac{T}{a \delta} &&= \frac{4}{144} \frac{T}{a \delta} \\ \tau_{GE} &= \frac{\tau_{GK}}{4} &&= \frac{1}{144} \frac{T}{a \delta} \\ \tau_{EG} &= \tau_{GE} + \frac{T}{4 I_x \delta} \cdot 4 a \delta \cdot \frac{a}{2} &&= \frac{17}{144} \frac{T}{a \delta} \\ \tau_{EH} &= \tau_{GK} &&= \frac{4}{144} \frac{T}{a \delta}\end{aligned}$$

Dalla relazione

$$-4 \delta \tau_{EG} - \delta \tau_{EH} + 4 \delta \tau_{EB} = 0$$

risulta

$$\tau_{EB} = \tau_{EG} + \frac{\tau_{EH}}{4} = \frac{18}{144} \frac{T}{a \delta}$$

Si ha ancora

$$\tau_{BE} = \tau_{EB} + \frac{T}{4 I_x \delta} \cdot 4 a \delta \cdot \frac{a}{2} = \frac{34}{144} \frac{T}{a \delta}$$

$$\tau_{BA} = \tau_{BE} = \frac{34}{144} \frac{T}{a \delta}$$

$$\tau_L = \tau_{BA} + \tau_{GK} = \frac{38}{144} \frac{T}{a \delta}$$

Il diagramma  $\tau(s)$  della fig.13b è in equilibrio con  $T$  sulla sezione triconnessa; i due diagrammi delle fig.13c e 13d sono in equilibrio per  $T = 0$  sulla sezione triconnessa; quindi la somma dei tre diagrammi è la

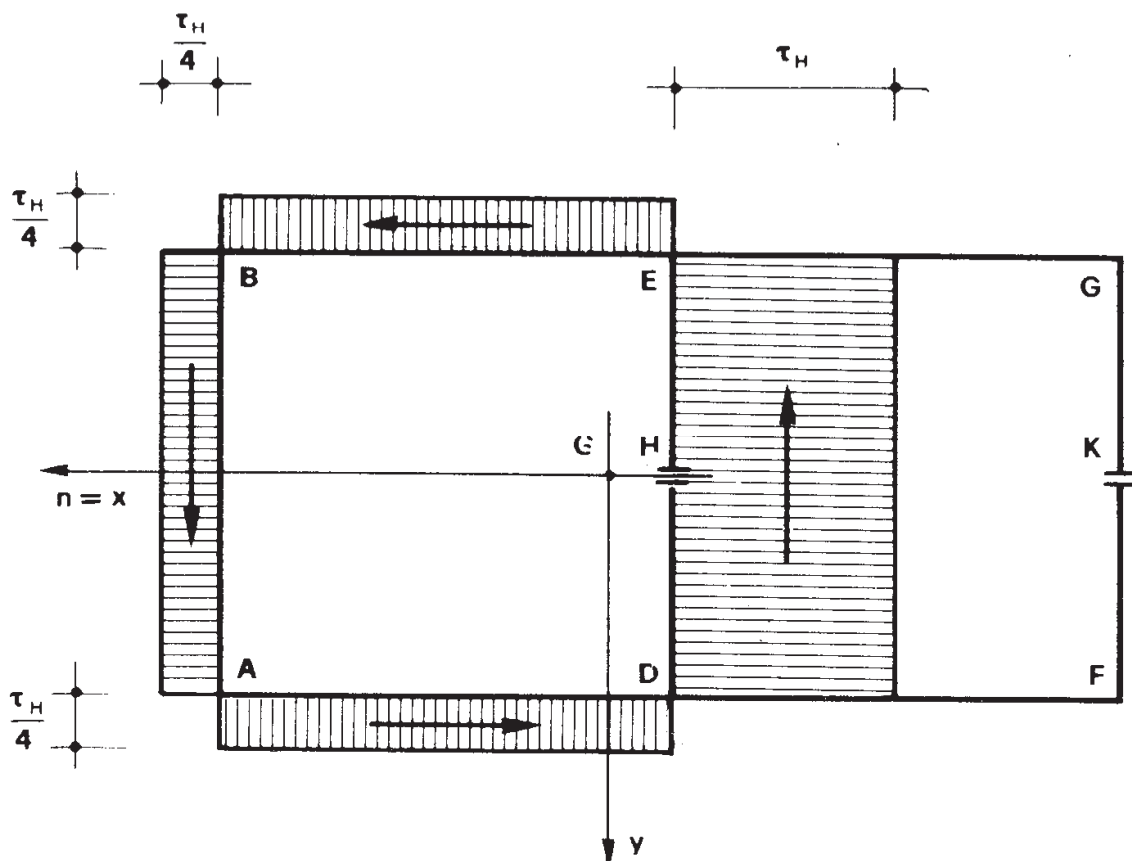


Figura 13c

soluzione se sono rispettate le due condizioni di congruenza in  $H$  e  $K$ . Per quanto già detto nel problema precedente, tali condizioni si scrivono

$$\int_{ADEB} \tau ds = 0 \quad (56)$$

$$\int_{AFGB} \tau ds = 0$$

Il primo dei due integrali (56) deve essere eseguito percorrendo la linea  $ADEB$  in uno stesso senso (per esempio antiorario), lo stesso vale per il secondo, in relazione alla linea  $AFGB$ . Essi esprimono la condizione dell'annullarsi di  $\Delta w$  in  $H$  e  $K$ , ed equivalgono alla scrittura del teorema di Stokes alle due linee anzidette.

Il secondo integrale può essere sostituito da quello relativo alla maglia *FGED*:

$$\int_{FGED} \tau ds = 0 ; \quad (57)$$

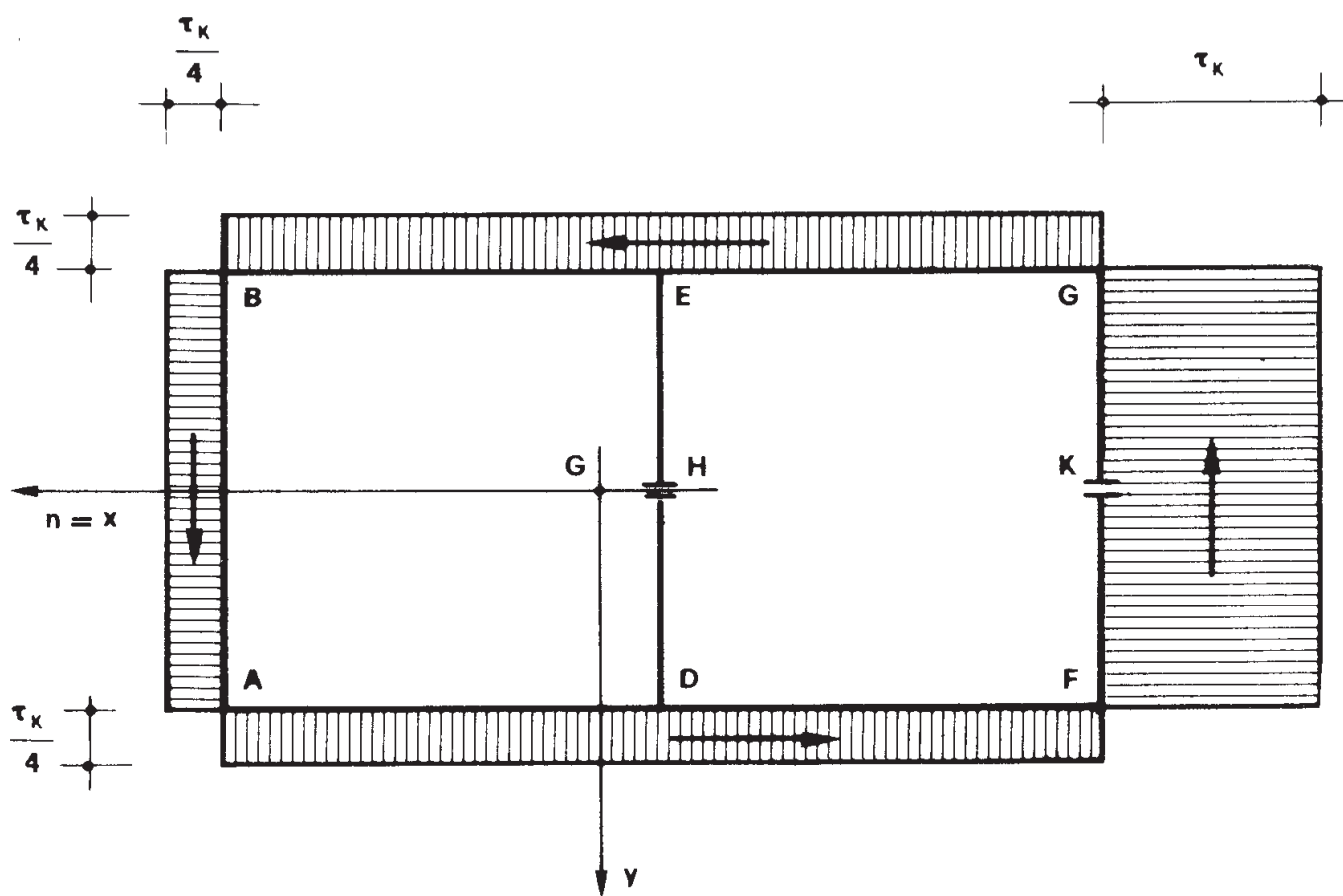


Figura 13d

ciò si evince sommando al secondo integrale delle (56) il primo cambiato di segno.

Con riferimento alle  $\tau$  ( $s$ ) della fig. 13b, si ha

$$\int_{ADEB} \tau ds = \left[ \frac{1}{3} \frac{4}{144} + \frac{2}{2} \left( \frac{18}{144} + \frac{34}{144} \right) + \frac{34}{144} + \frac{2}{3} \frac{4}{144} \right] \frac{T}{\delta} =$$

$$= \frac{90}{144} \frac{T}{\delta}$$

$$\int_{FGED} \tau ds = \left[ \frac{1}{3} \frac{4}{144} - \frac{1}{3} \frac{4}{144} + \frac{2}{2} \left( \frac{1}{144} + \frac{17}{144} \right) \right] \frac{T}{\delta} =$$

$$= \frac{18}{144} \frac{T}{\delta} .$$

Con riferimento alle  $\tau$  ( $s$ ) della fig. 13c si ha

$$\int_{ADEB} \tau ds = \tau_H a + \frac{\tau_H}{4} \cdot 3a = \frac{7}{4} \tau_H a$$

$$\int_{FGED} \tau ds = - \tau_H a .$$

Con riferimento alle  $\tau$  ( $s$ ) della fig. 13d si ha

$$\int_{ADEB} \tau ds = \frac{\tau_K}{4} \cdot 3a = \frac{3}{4} \tau_K a$$

$$\int_{FGED} \tau ds = \tau_K a + \frac{\tau_K}{4} \cdot 2a = \frac{3}{2} \tau_K a .$$

Le due condizioni di congruenza si scrivono perciò come segue:

$$\frac{90}{144} \frac{T}{\delta} + \frac{7}{4} \tau_H a + \frac{3}{4} \tau_K a = 0$$

$$\frac{18}{144} \frac{T}{\delta} - \tau_H a + \frac{3}{2} \tau_K a = 0$$

da cui

$$\tau_H = - \frac{36}{144} \frac{T}{a \delta}$$

$$\tau_K = - \frac{36}{144} \frac{T}{a \delta}$$

E' perciò (fig. 13e)

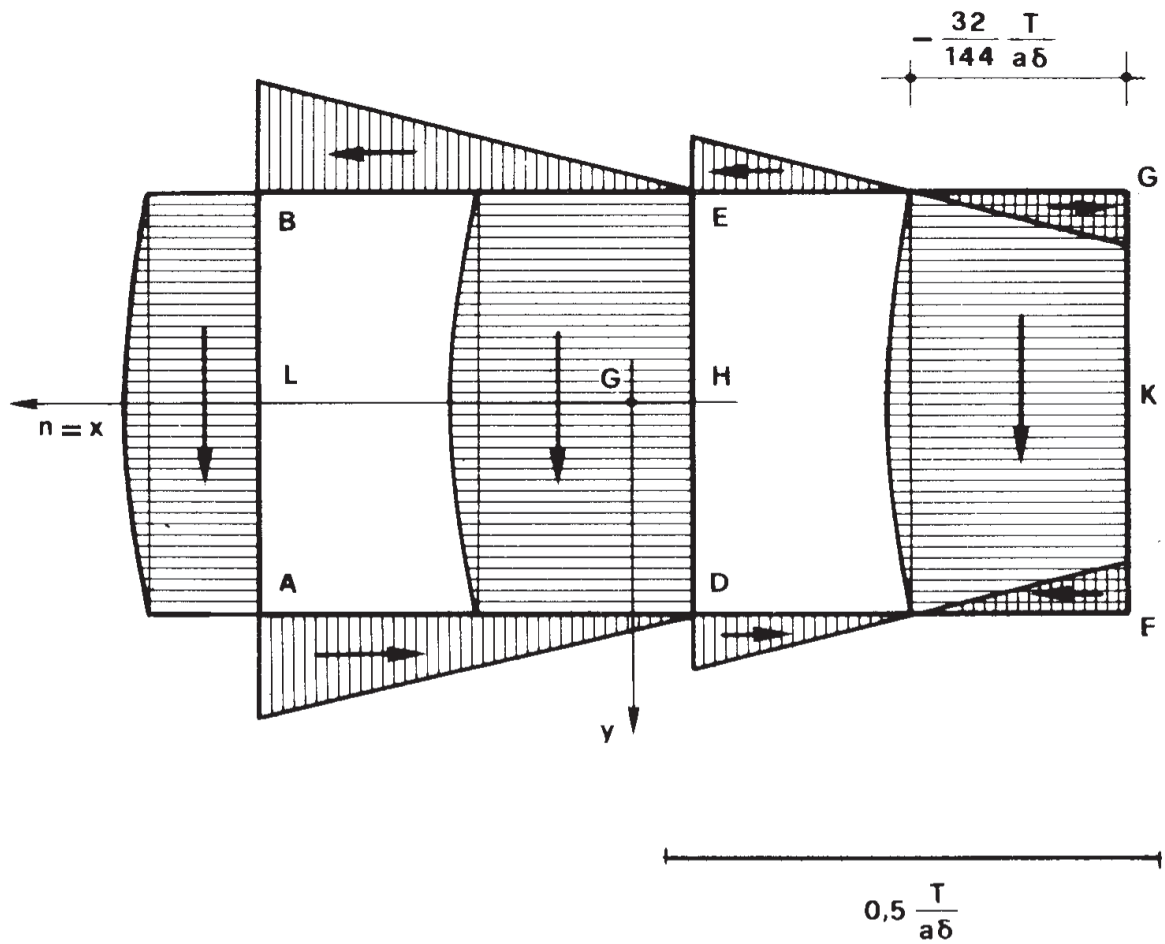


Figura 13e

$$\tau_H = \tau_K = - \frac{36}{144} \frac{T}{a \delta}$$

$$\tau_{GK} = \left( \frac{4}{144} - \frac{36}{144} \right) \frac{T}{a \delta} = - \frac{32}{144} \frac{T}{a \delta}$$

$$\tau_{GE} = \frac{\tau_{GK}}{4} = -\frac{8}{144} \frac{T}{a\delta}$$

$$\tau_{EG} = \left( \frac{17}{144} - \frac{9}{144} \right) \frac{T}{a\delta} = \frac{8}{144} \frac{T}{a\delta}$$

$$\tau_{EH} = \left( \frac{4}{144} - \frac{36}{144} \right) \frac{T}{a\delta} = -\frac{32}{144} \frac{T}{a\delta}$$

$$\tau_{EB} = \left( \frac{18}{144} - \frac{9}{144} - \frac{9}{144} \right) \frac{T}{a\delta} = 0$$

$$\tau_{BE} = \left( \frac{34}{144} - \frac{9}{144} - \frac{9}{144} \right) \frac{T}{a\delta} = \frac{16}{144} \frac{T}{a\delta}$$

$$\tau_{BL} = \tau_{BE} = \frac{16}{144} \frac{T}{a\delta}$$

$$\tau_L = \left( \frac{38}{144} - \frac{9}{144} - \frac{9}{144} \right) \frac{T}{a\delta} = \frac{20}{144} \frac{T}{a\delta}$$

Le risultanti parziali delle  $\tau \delta ds$  sono (fig.13f)

$$T_{GF} = \left( \frac{32}{144} + \frac{2}{3} \frac{4}{144} \right) T = \frac{13}{54} T$$

$$T_{ED} = T_{GF} = \frac{13}{54} T$$

$$T_{BA} = \left( \frac{16}{144} + \frac{2}{3} \frac{4}{144} \right) 4T = \frac{28}{54} T$$

$$T_{EG} = 0$$

$$T_{BE} = \frac{1}{2} \frac{16}{144} 4T = \frac{12}{54} T$$

La posizione della risultante  $T$  è definita dall'equazione di equivalenza alla rotazione intorno a  $B$ :

$$-\frac{13}{54} T \cdot 2a - \frac{13}{54} T \cdot a + \frac{12}{54} T \cdot a = -T \left( \frac{19}{22} a - x_c \right)$$

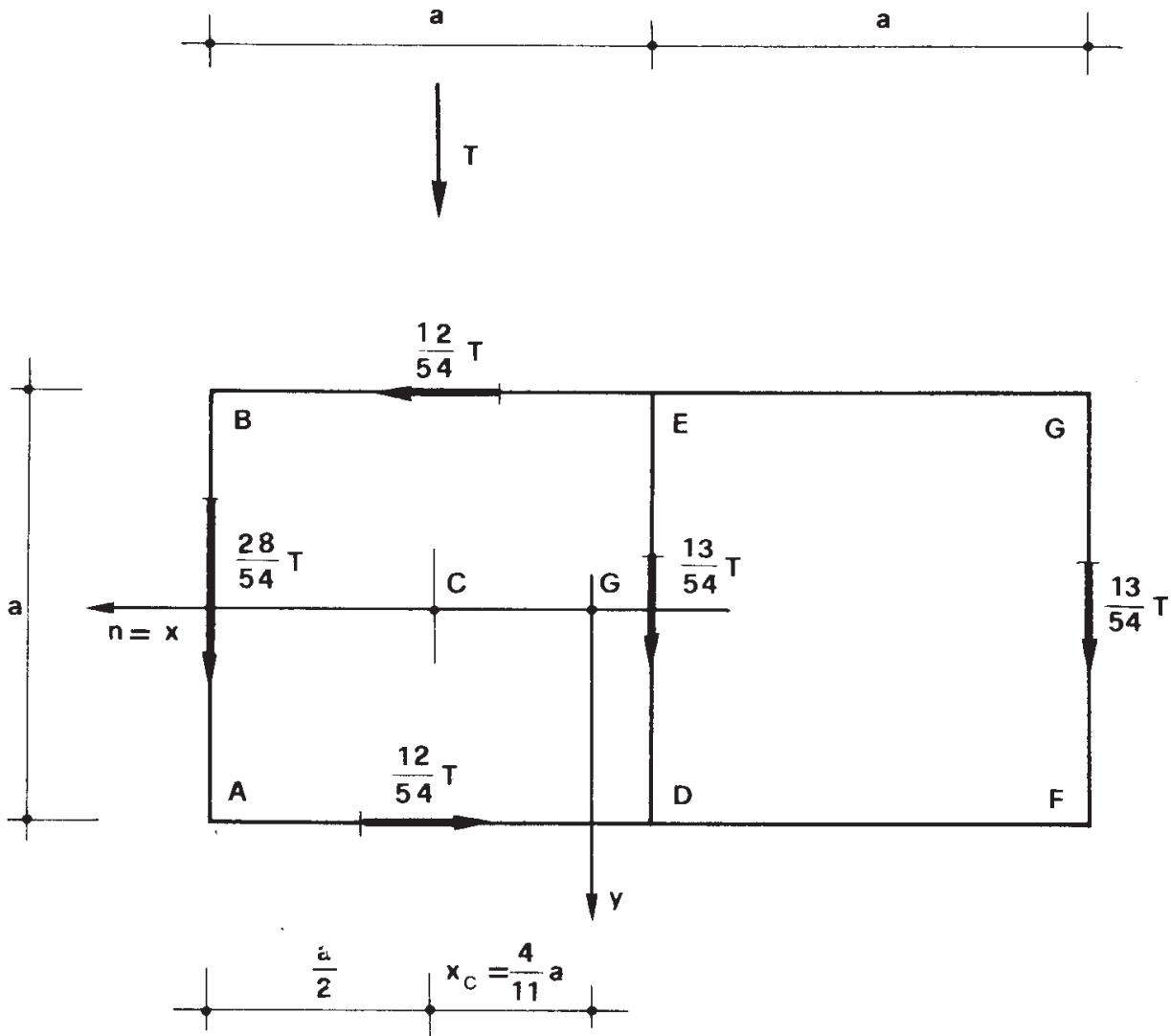


Figura 13f

da cui

$$x_c = \frac{4}{11} a .$$

Si verifica che, conformemente alle due condizioni di congruenza, le aree dei diagrammi  $\tau$  ( $s$ ) sono nulle, sia per la maglia  $ADEB$  che per la  $DFGE$ .

Problema n. 14.

La stessa sezione del problema 13 sia soggetta ad una coppia torcente  $\mathfrak{M}$  (fig. 14a). Le incognite sono i tre prodotti  $4\delta\tau_1$ ,  $\delta\tau_2$  e  $\delta\tau_3$  (flus-

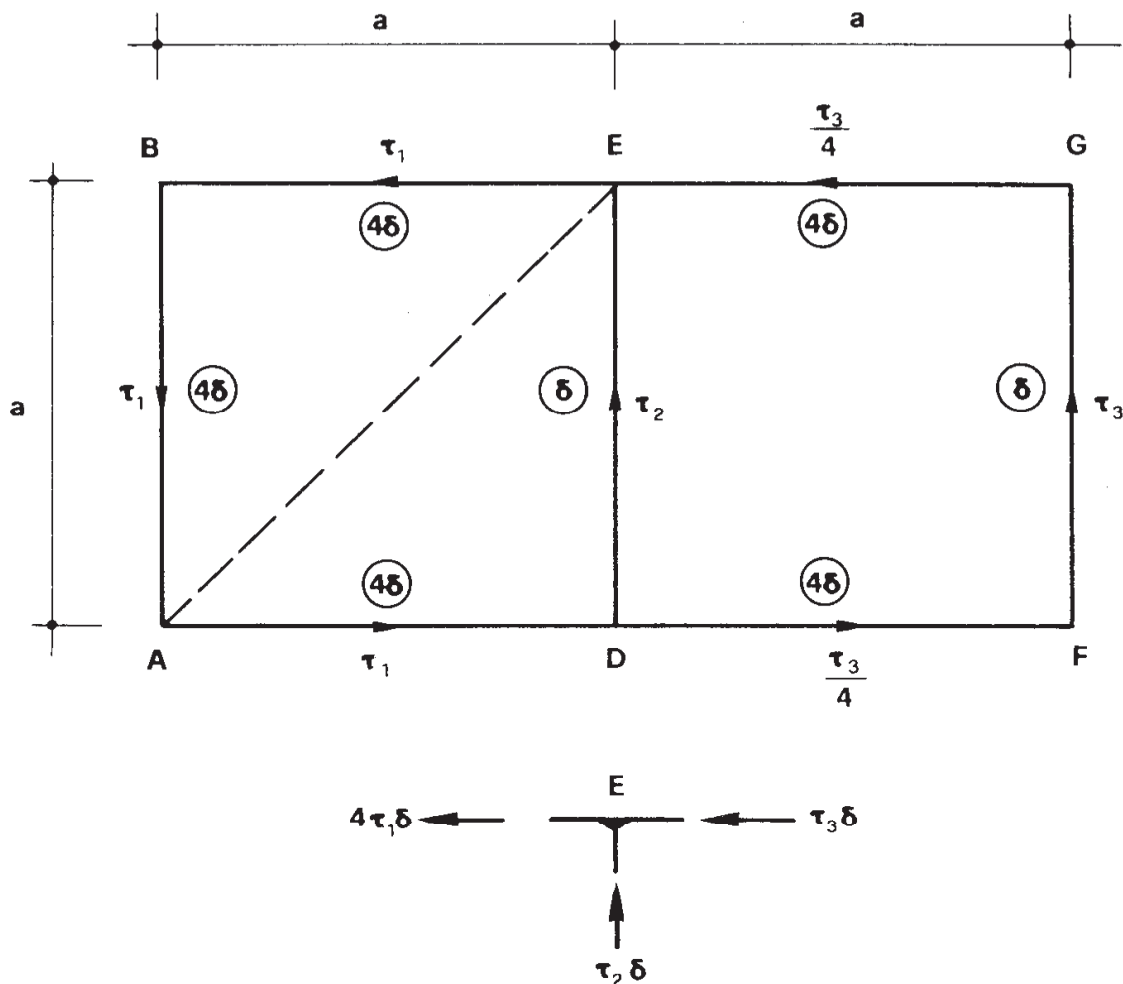


Figura 14a

si relativi ai tre tratti  $EBAD$ ,  $ED$ ,  $DFGE$ ) e l'angolo  $\vartheta'$  specifico di rotazione. I versi positivi delle  $\tau$  (rette  $t_i$ ) sono sempre quelli della fig.13a, e sono riportati anche nella fig.14a.

L'equazione di nodo scritta in  $E$  è

$$4\tau_1\delta - \tau_2\delta - \frac{\tau_3}{4}4\delta = 0. \quad (58)$$

Le due equazioni di maglia scritte per  $ADEB$  e per  $DFGE$  sono rispettivamente

$$3a\tau_1 + a\tau_2 = 2G\vartheta'a^2 \quad (59)$$

$$- a \tau_2 + a \tau_3 + 2 a \frac{\tau_3}{4} = 2 G \vartheta' a^2 .$$

L'equazione di equilibrio globale, scegliendo come polo il punto  $A$ , si scrive determinando prima le *aree settoriali* dei tre tratti  $EBAD$ ,  $ED$ ,  $DFGE$ :

$$A_{s1} = \frac{a^2}{2}$$

$$A_{s2} = \frac{a^2}{2}$$

$$A_{s3} = 3 \frac{a^2}{2} ;$$

è quindi

$$\mathfrak{M} = 2 \sum_i \tau_i \delta_i A_{si} =$$

$$\mathfrak{M} = 2 \left( 4 \tau_1 \delta \cdot \frac{a^2}{2} + \tau_2 \delta \cdot \frac{a^2}{2} + \tau_3 \delta \cdot \frac{3 a^2}{2} \right)$$

e ancora

$$= 4 \tau_1 \delta a^2 + \tau_2 \delta a^2 + 3 \tau_3 \delta a^2 . \quad (60)$$

Dalla (58) si trae

$$\tau_1 = \frac{\tau_2 + \tau_3}{4} ;$$

le (59) si scrivono così

$$7 \tau_2 + 3 \tau_3 = 8 G \vartheta' a$$

$$- 2 \tau_2 + 3 \tau_3 = 4 G \vartheta' a$$

da cui

$$\tau_2 = \frac{12}{27} G \vartheta' a \quad (61)$$

$$\tau_3 = \frac{44}{27} G \vartheta' a$$

e quindi

$$\tau_1 = \frac{14}{27} G \vartheta' a \quad (62)$$

Dalla (60) si trae

$$\frac{\mathfrak{M}}{\delta a^2} = \frac{200}{27} G \vartheta' a$$

da cui

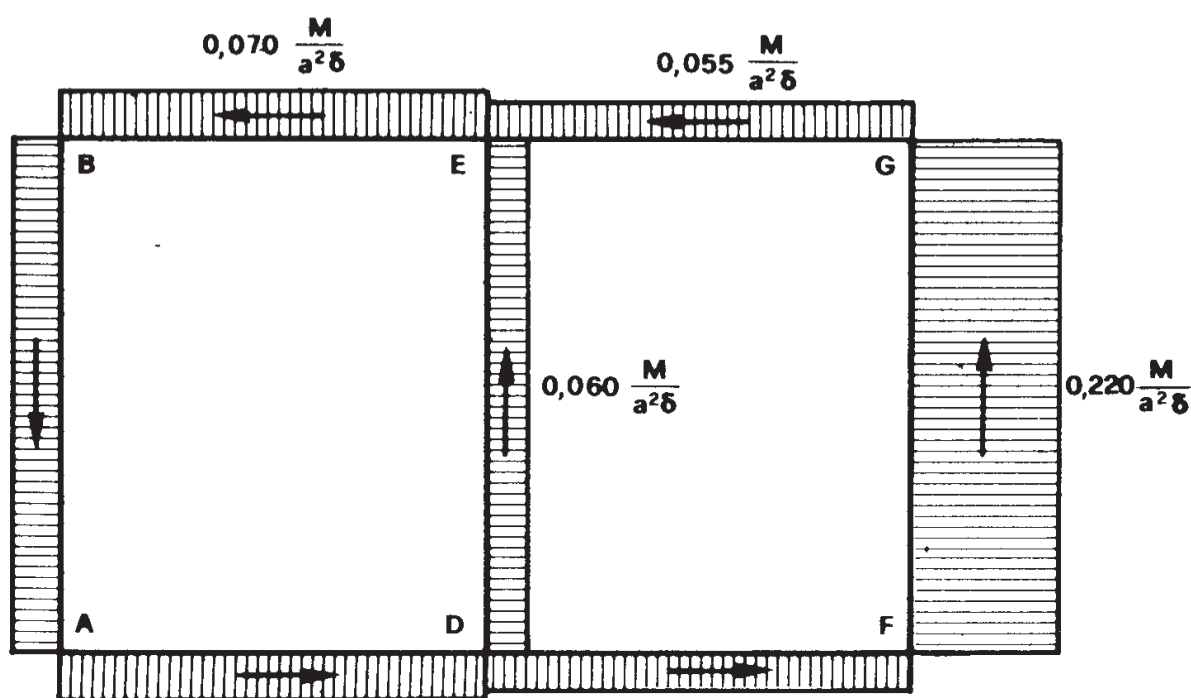


Figura 14b

$$\vartheta' = \frac{27}{200} \frac{\mathfrak{M}}{G \delta a^3} \quad (63)$$

La (63) fornisce il valore della rigidità torsionale della sezione:

$$C_t = \frac{200}{27} G \delta a^3 . \quad (64)$$

Inoltre, la (63), sostituita nelle (61) e (62), fornisce le espressioni delle  $\tau$  in funzione di  $\vartheta$ :

$$\begin{aligned} \tau_1 &= \frac{14}{200} \frac{\mathfrak{M}}{\delta a^2} \\ \tau_2 &= \frac{12}{200} \frac{\mathfrak{M}}{\delta a^2} \\ \tau_3 &= \frac{44}{200} \frac{\mathfrak{M}}{\delta a^2} . \end{aligned} \quad (65)$$

Il diagramma delle  $\tau$  è disegnato nella fig.14b.

### Problema n. 15.

Nel problema 12 e nel 13 si è giustificata la relazione di Stokes nel taglio come fatto di congruenza; lo stesso vuole qui farsi per la torsione. Innanzitutto (fig. 15a) deve fornirsi l'espressione delle  $w$  nella torsione delle sezioni aperte.

Sia  $AB$  una generica sezione monoconnessa; la torsione, generata da una coppia  $\mathfrak{M}$ , non altera la forma della sezione retta, in cui perciò le  $u$  e  $v$  possono associarsi ad una rotazione rigida. Il centro  $O$  di tale rotazione dipende dai vincoli della sezione incastrata, se in tale sezione esiste un appoggio torsionale, e cioè tale da impedire  $\vartheta$  ma non i  $w$ .

Si utilizza il principio dei lavori virtuali, assumendo come spostamenti quelli reali, e come sistema di forze fittizio quello costituito da una distribuzione  $\tau \delta = \text{cost}$  sulle sezioni rette; questo sistema è in equilibrio, se è accompagnato dalle  $\tau_A \delta_A$  sulla faccia laterale del prisma di base  $\delta_A$ , e dalle  $\tau_B \delta_B$  sulla faccia di base  $\delta_B$ . E' facile infatti verificare che sulla sezione  $z = l$  (disegnata nella fig. 15a, dove l'asse  $z$  è diretto verso l'alto) la risultante delle  $\tau \delta ds$  è fornita da  $\tau k \delta$ , dove  $k$  è in modulo e segno la lunghezza del segmento  $AB$ ; sulla sezione  $z = 0$  la risultante è  $-\tau k \delta^{(*)}$ .

(\*) Le due forze  $\tau \delta k$  e  $-\tau \delta k$  sono parallele alla congiungente  $AB$ , e determinano un piano

Sulla faccia laterale di base  $\delta_A$  la risultante è invece  $-\tau h\delta$ , dove  $h$  è l'altezza del prisma; e sulla faccia laterale di base  $\delta_B$  è  $\tau h\delta$ . Tali forze si fanno equilibrio.

Il principio dei lavori virtuali permette di scrivere<sup>(\*)</sup>

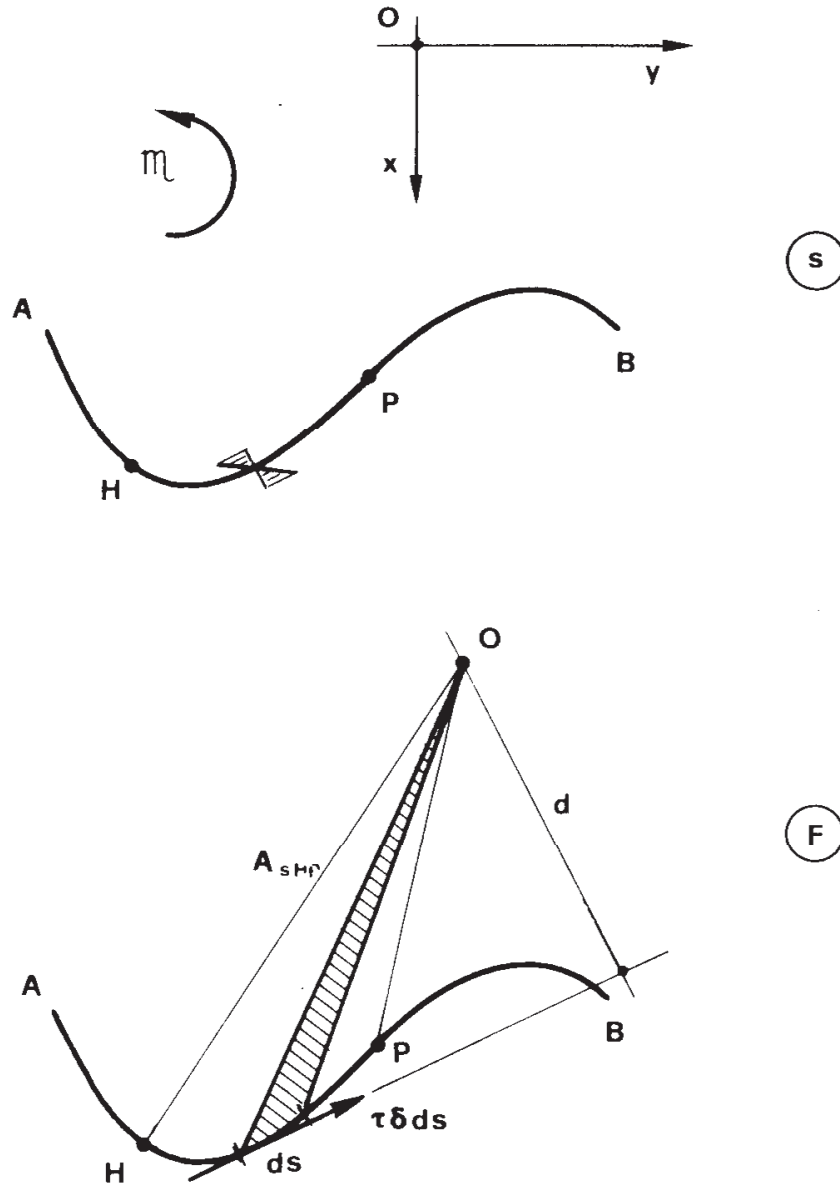


Figura 15a

parallelo a  $z$ ; esse quindi equivalgono ad una coppia il cui vettore momento è ortogonale al piano definito dalla retta  $AB$  e dalla direzione  $z$ .

(\*) Il lavoro interno

$$\int_V \tau \gamma dV = h \int_A \tau_1 \tau_2 dA$$

è nullo, perchè  $\tau_1$  è antisimmetrico rispetto alla  $t$ , e  $\tau_2$  è simmetrica.

$$(w_B - w_A) \tau h \delta + \int_A^B \tau \delta ds \cdot \vartheta' h d = 0 \quad (66)$$

da cui

$$w_B - w_A = - \vartheta' \int_A^B d \cdot ds . \quad (67)$$

Dati due punti qualsiasi  $H$  e  $P$ , dove  $H$  precede  $P$  nel verso di  $t$ , è

$$w_P = w_H - \vartheta' \int_A^B d \cdot ds . \quad (68)$$

L'integrale della (68) non è che il doppio dell'area  $A_{sHP}$  compresa tra i due raggi  $OH$  e  $OP$ , e la linea media; tale area è l'area *settoriale* relativa al polo  $O$  ed al tratto  $HP$ , ed è da considerarsi *positiva* se, muovendosi da  $H$  a  $P$  lungo la linea media, il raggio ruota in senso *antiorario*. La (68) si scrive così

$$w_P = w_H - 2 \vartheta' A_{sHP} . \quad (69)$$

Si osservi che  $w_P$  non dipende dall'altezza  $h$  del prisma, e cioè gli ingobbimenti  $w$  sono gli stessi per tutte le sezioni. Le  $w_P$  sono date a meno della  $w_H$ , e ciò corrisponde al fatto che esse sono definite a meno di una traslazione rigida del prisma lungo l'asse  $z$ . La retta parallela a  $z$  e passante per  $O$  non ruota, tutte le altre parallele a  $z$  ruotano.

Ciò premesso, si consideri la trave la cui sezione retta, chiusa, è riportata nella fig.15b. Si rende monoconnessa la sezione tagliando la trave lungo la generatrice di traccia  $A$ , e si applica una coppia torcente  $\mathfrak{M}_a$  tale da generare, su tale trave, una  $\vartheta'$  pari a quella reale, e cioè a quella che la coppia  $\mathfrak{M}$  reale genera sulla trave a sezione chiusa. Sulla trave aperta si ha, comunque si scelga il polo  $O$ ,

$$A_{sA'A''} = A_m = ab .$$

e quindi

$$w_A'' - w_A' = - 2 \vartheta' A_m .$$

Per ripristinare la congruenza senza turbare l'equilibrio si fa agire una distribuzione  $\tau\delta = cost$  sulle due basi del prisma, accompagnate dalle  $\tau\delta$  simmetriche sulle due facce risultanti del taglio in  $A$ ; tale distribuzione equivale ad una coppia torcente fornita da

$$\mathfrak{M}_b = 2\tau\delta A_m, \quad (70)$$

e ad essa non si accompagna  $\vartheta'$ .

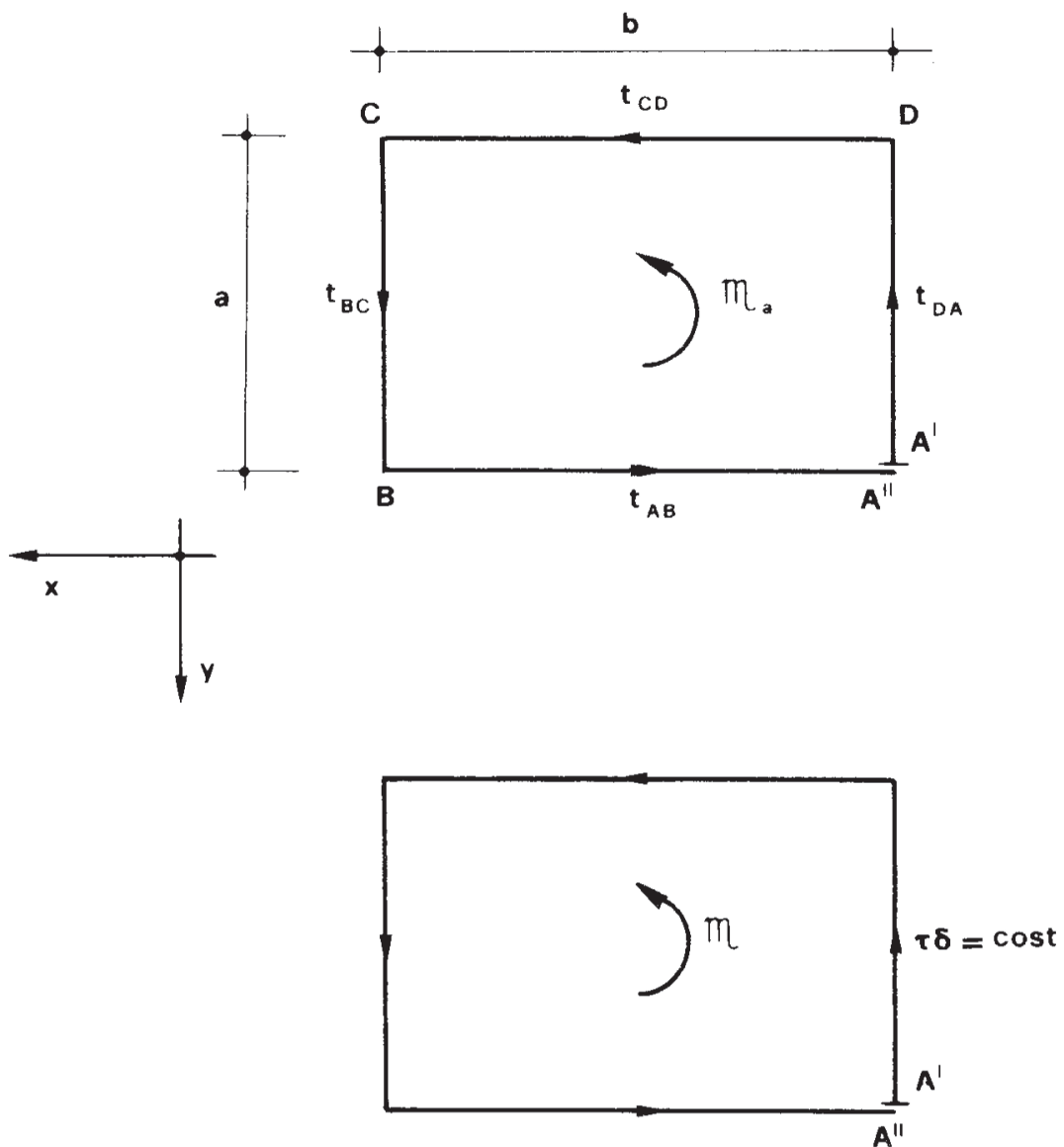


Figura 15 b

Per effetto della distribuzione aggiuntiva di  $\tau$  si ha

$$w''_A - w'_A = \frac{1}{G} \int_{A'}^{A''} \tau ds = \frac{\tau\delta}{G} \int_{A'}^{A''} \frac{ds}{\delta}.$$

Il prodotto  $\tau\delta$  è fornito dalla condizione di congruenza lungo la generatrice in  $A$

$$2\vartheta' A_m - \frac{\tau\delta}{G} \int_{A'}^{A''} \frac{ds}{\delta} = 0$$

e quindi da

$$\tau\delta = \frac{2\vartheta' A_m G}{\int_m \frac{ds}{\delta}} .$$

Per la (70) si ha

$$\mathfrak{M} = \frac{\vartheta' 4 A_m^2 G}{\int_m \frac{ds}{\delta}} . \quad (71)$$

Trascurando  $\mathfrak{M}_a$  in confronto ad  $\mathfrak{M}$ , la (71) fornisce

$$C_t = \frac{4 A_m^2 G}{\int_m \frac{ds}{\delta}} , \quad (72)$$

e la (70)

$$\tau = \frac{\mathfrak{M}}{2\delta A_m} , \quad (73)$$

e cioè le due formule di Bredt.

### Problema n. 16.

La trave  $ST$  della fig. 16a è vincolata con sette pendoli, quindi è una volta iperstatica. La sezione è quella già studiata nel problema 9. Le condizioni di vincolo sono:

$$\begin{aligned}
 z = 0 & & ; & & w_G = u_B = u_E = v_A = 0 ; \\
 z = dz & & ; & & v_C = 0 ; \\
 z = l & & ; & & u_C = v_A = 0 .
 \end{aligned}$$

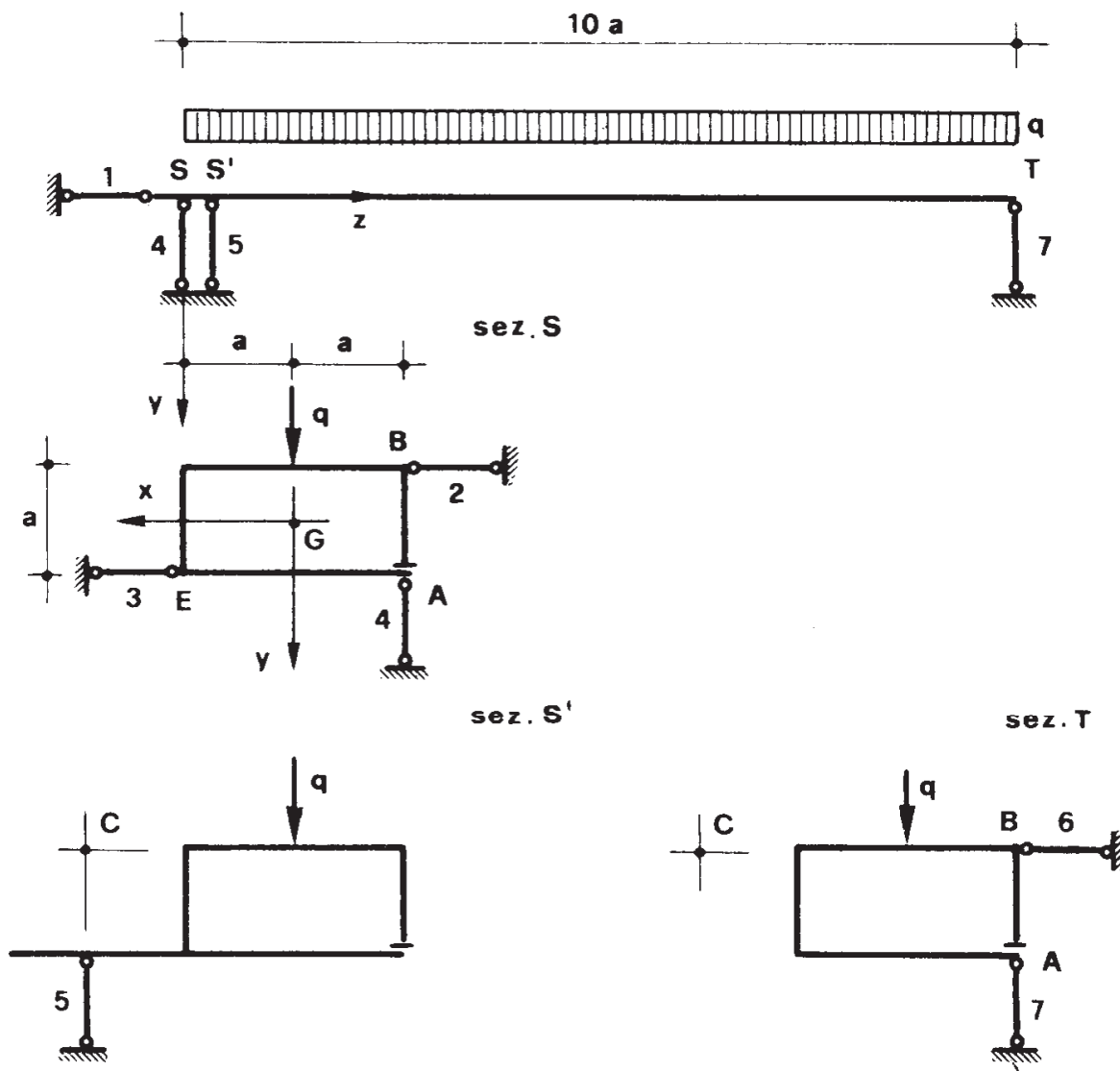


Figura 16a

La trave si rende isostatica eliminando il pendolo 7; quindi  $X = N_7$ .  
 Lo spostamento  $v_7^o$  è dovuto per una parte  $v_{7f}^o$  alle deformazioni da flessione, e per una parte  $v_{7t}^o$  alle deformazioni da torsione. La prima è

$$v_{7f}^o = \frac{q \cdot (10a)^4}{8EI} ;$$

con i dati del problema 9 si ha

$$v_{7f}^{\circ} = \frac{3}{52} \frac{qa}{E\delta} 10^4 = 576,9 \frac{q}{E} \frac{a}{\delta} .$$

Per calcolare la seconda parte, si osservi che nella deformazione torsionale di un concio di lunghezza  $dz$  soggetto a momento costante le fibre (e cioè i segmenti paralleli a  $z$  e compresi tra le due basi del concio) restano rettilinee, e quella contenente il centro di rotazione resta per di più parallela a  $z$ . Suddividendo la trave in concii ordinati da  $z = 0$  a  $z = l$ , si avrà quindi nel primo concio una fibra di traccia  $x_0y_0$  che non presenta spostamenti; la fibra del secondo concio che non presenta spostamenti non può che avere la stessa traccia, per ragioni di continuità dell'inclinazione. Iterando il ragionamento per tutti i concii seguenti, si trae che *esiste una fibra della trave che resta parallela all'asse  $z$  (fibra fissa)*. La posizione di tale fibra è dettata dai vincoli; nel caso in esame essa ha per traccia sulla generica sezione il punto  $O$  di concorso delle proiezioni secondo  $z$  sul piano della sezione degli assi dei pendoli 5 e 6, poichè tale traccia nella sezione  $S'$  può trovarsi solo sulla proiezione del pendolo 5, e nella sezione  $T$  sulla proiezione del pendolo 6 (oppure del pendolo 7). Si è scelto  $O$  coincidente con il centro  $C$  di taglio. Il diagramma del momento centrale  $M_c^{\circ}$  (fig. 16b) è fornito da

$$M_c^{\circ}(z) = -q(l-z)x_c ;$$

la rotazione torsionale della sezione  $T$  è perciò data da

$$\vartheta_T^{\circ} = \int_0^l \frac{M_t^{\circ}}{C_t} dz = -\frac{qx_c l^2}{2C_t} .$$

Se ne trae

$$v_{7t}^{\circ} = \frac{qx_c l^2}{2C_t} (x_c + a) = \frac{37}{26} \frac{24}{13} \frac{100a^4 q}{C_t} .$$

La rigidità torsionale è

$$C_t = \frac{G}{3} \sum s_i \delta_i^3 = Ga\delta^3 \frac{34}{3} ; \quad (74)$$

se ne trae

$$v_{7t}^{\circ} = 23,18 \frac{q}{G} \frac{a^3}{\delta^3} .$$

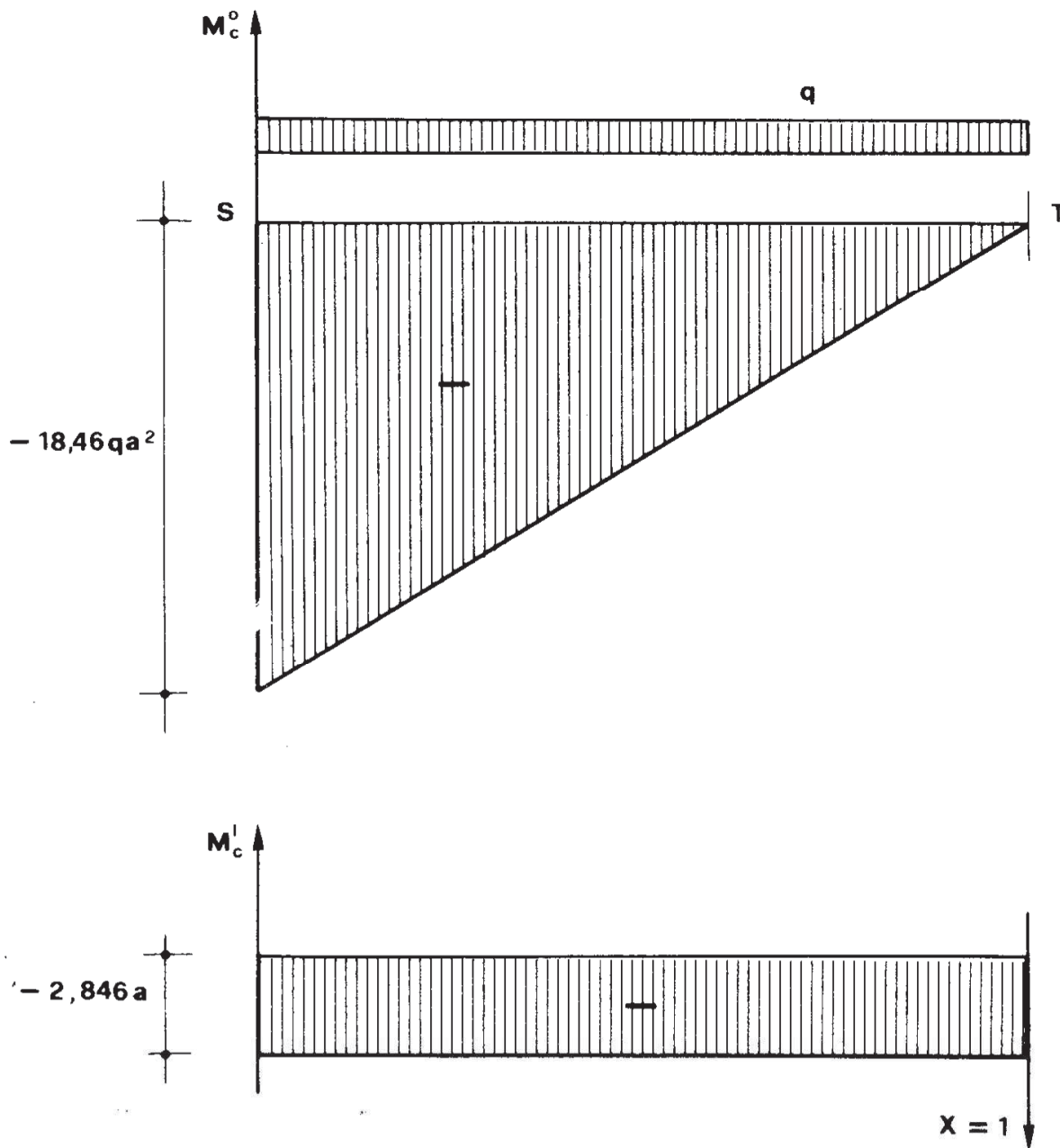


Figura 16b

E' perciò

$$v_7^{\circ} = q \left( 576,9 \frac{a}{E \delta} + 23,18 \frac{a^3}{G \delta^3} \right) .$$

Lo spostamento  $v'_{7f}$  (spostamento corrispondente al pendolo 7, e dovuto ad  $X = 1$ ) è

$$v'_{7f} = \frac{(10a)^3}{3EI} = \frac{2}{13} \frac{1}{E\delta} 10^3 = 153,8 \frac{1}{E\delta} .$$

Il momento centrale dovuto ad  $X = 1$  è

$$M'_c(z) = - (x_c + a) = - \frac{37}{13} a = - 2,846 a ,$$

e quindi

$$\vartheta_T^1 = \int_0^l \frac{M'_c}{C_t} dz = - \frac{37}{13} \frac{10a^2}{C_t} = - 2,511 \frac{a}{G\delta^3}$$

$$v'_{7t} = - \vartheta_T^1 (x_c + a) = 7,146 \frac{a^2}{G\delta^3} .$$

E' quindi

$$v'_7 = 153,8 \frac{1}{E\delta} + 7,146 \frac{a^2}{G\delta^3} .$$

L'equazione di congruenza

$$v_7^0 + X v'_7 = 0$$

porge

$$X = -qa \frac{577 + 23,2 \frac{Ea^2}{G\delta^2}}{154 + 7,15 \frac{Ea^2}{G\delta^2}} . \quad (75)$$

Nel caso particolare

$$\frac{a}{\delta} = 30$$

$$\frac{E}{G} = 2$$

si ha  $X = - 3,25 qa$ .

A scopo di paragone, la  $X$  dovuta al solo effetto flessionale si calcola in  $X = - 3,75 qa$ . Nella fig.16c sono disegnati i diagrammi delle caratteristiche  $M_x$ ,  $T_y$  ed  $M_c$ . Per il momento flettente  $M_x$ , si ha

$$M_{xS} = - \frac{ql^2}{2} - Xl = - 17,5 qa^2 ;$$

chiamando in gioco il solo effetto flessionale si sarebbe avuto

$$M_{xS} = - \frac{ql^2}{8} = - 12,5 qa^2 ,$$

con un errore del 28 % .

Per il taglio si ha

$$T_{yS} = ql + X = 6,75 qa$$

$$T_{yT} = X = - 3,25 qa .$$

Per il momento centrale  $M_c$  si ha

$$\begin{aligned} M_{cS} &= - qlx_c - X(x_c + a) = \\ &= (- 18,46 + 9,25) qa^2 = - 9,21 qa^2 \end{aligned}$$

$$M_{cT} = - X(x_c + a) = 9,25 qa^2 .$$

Si verifichi la sezione d'incastro (fig.16d e 16e). Il momento flettente provoca le  $\sigma$  di valori estremi

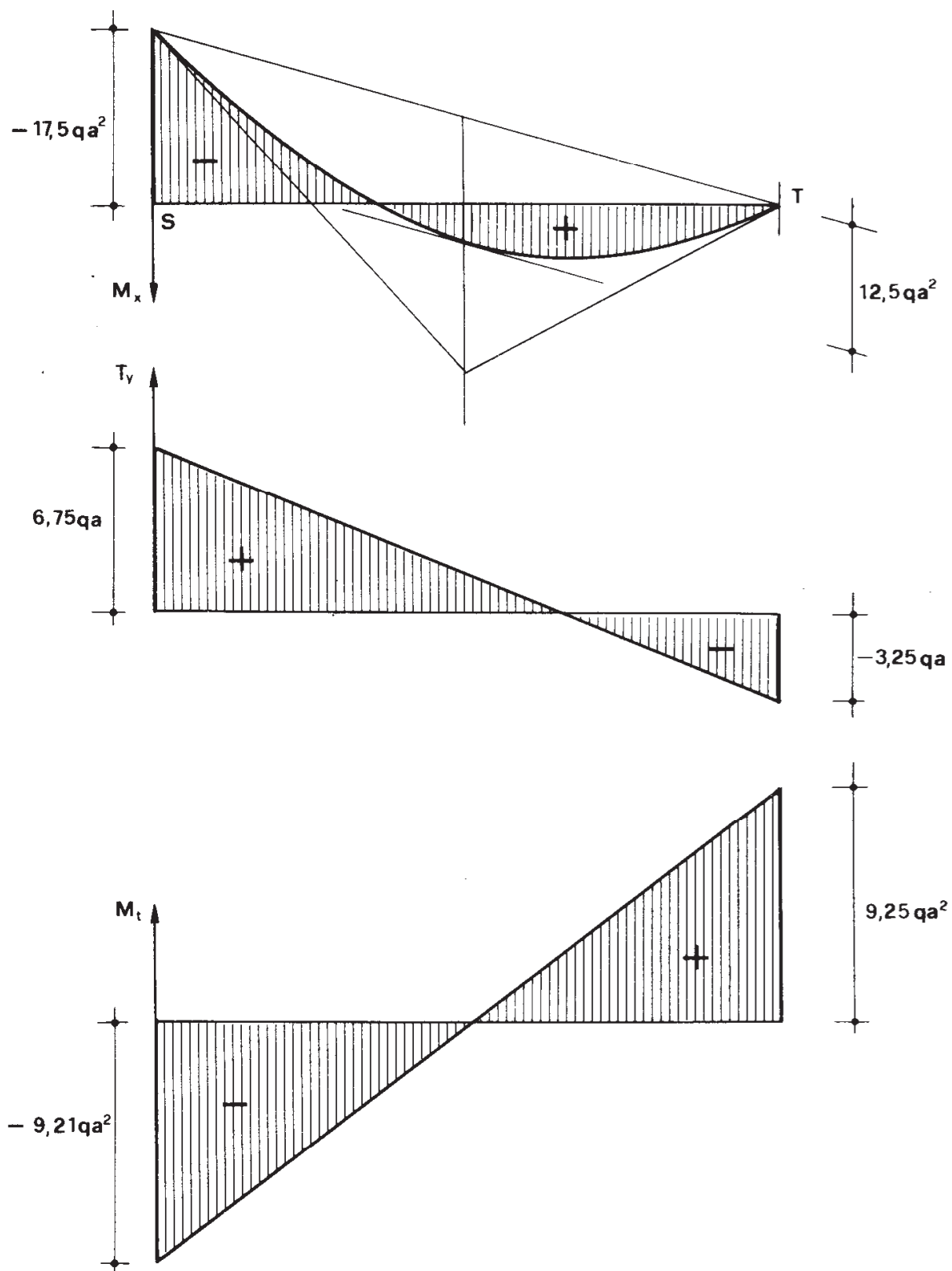


Figura 16c

$$\sigma_m = \pm \frac{M_x}{I_x} \frac{a}{2} = \pm 121 \frac{q}{a} .$$

Risulta, poi per la torsione,

$$C_t = \frac{34}{3} G a \delta^3 = 4,20 \cdot 10^{-4} G a^4$$

$$\vartheta' = \frac{M_t}{C_t} = - \frac{9,21}{C_t} q a^2 = - 2,19 \cdot 10^4 \frac{q}{G a^2}$$

$$rot \tau = 2 G \vartheta' = - 4,38 \cdot 10^4 \frac{q}{a^2}$$

e quindi, sui lati  $BD$  ed  $EA$ ,

$$|\tau|_{max} = 4,38 \cdot 10^4 \frac{q}{a^2} \cdot \delta = 1460 \frac{q}{a} .$$

Per il taglio il diagramma delle  $\tau$  è quello della fig. 9b, in cui  $T = 6,75 qa$ ; quindi

$$\tau_H = - 11,7 \frac{q}{a}$$

$$\tau_{DB} = 93,5 \frac{q}{a}$$

$$\tau_{DE} = 187 \frac{q}{a}$$

$$\tau_L = 199 \frac{q}{a} .$$

Il diagramma delle  $\tau$  da taglio è disegnato nella fig. 16e.

Si osservi che i momenti cui sono connessi  $\vartheta'$  e relative  $\tau$  da torsione (momenti centrali) vanno sempre calcolati rispetto al centro di taglio  $C$ ; quando invece si calcolano le espressioni delle componenti dello spostamento necessario per scrivere le equazioni di congruenza, occorre te-

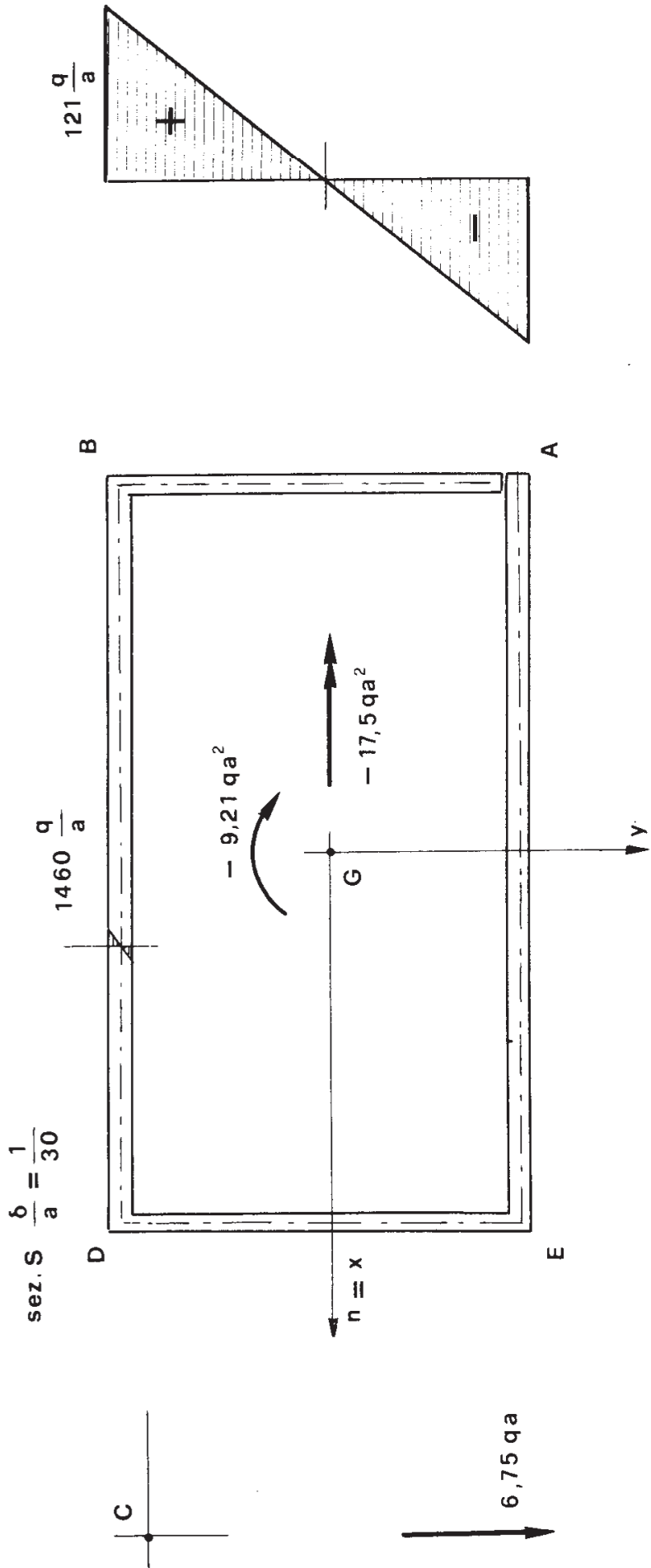


Figura 16d

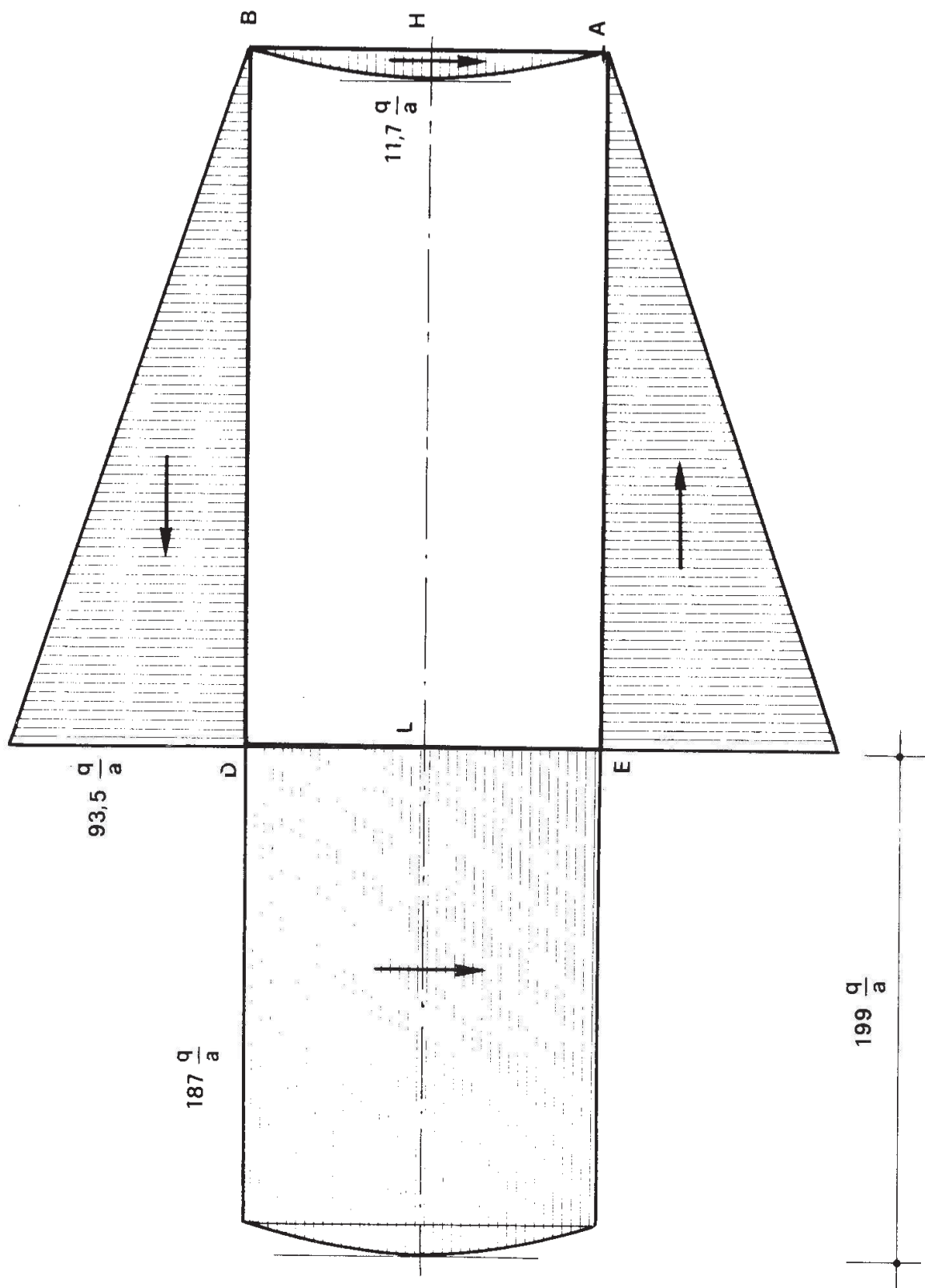


Figura 16c

ner presente che le rotazioni torsionali avvengono intorno alla traccia  $O$  della fibra fissa, determinata dai vincoli. Nel problema in esame si da il caso che  $O$  coincida con  $C$ . Se invece le ascisse del carico  $q$  e dei vincoli 5 e 7 sono generiche, e sempre nell'ipotesi che  $x$  sia asse principale d'inerzia, si ha, chiamando  $x_q$  l'ascissa di  $q$ ,  $x_c$  quella del centro di taglio,  $x_p$  quella di  $N_7$ ,

$$v_{7f}^{\circ} = \frac{ql^4}{8EI}$$

$$v_{7t}^{\circ} = \frac{ql^2}{2C_t} (x_c - x_q) (x_0 - x_r)$$

$$v'_{7f} = \frac{l^3}{3EI}$$

$$v'_{7t} = \frac{l}{C_t} (x_c - x_r) (x_0 - x_r)$$

da cui

$$X = -\frac{3}{8} ql \frac{1 + \frac{4EI}{C_t} \frac{(x_c - x_q)(x_0 - x_r)}{l^2}}{1 + \frac{3EI}{C_t} \frac{(x_c - x_r)(x_0 - x_r)}{l^2}} \quad (76)$$

Allo stesso risultato si può giungere utilizzando il principio dei lavori virtuali. Si ha così, sempre operando sulla struttura resa isostatica per eliminazione del pendolo 7,

$$\int_A p'_{Sz} w_{St} dA = \frac{1}{EI_x} \int_0^l M'_x M_x dz + \frac{1}{C_t} \int_0^l M'_c M_c dz + \int_V \sigma'_z \epsilon_{zt} dV \quad (77)$$

I due termini aggiuntivi in  $dA$  e  $dV$  della (77) sono necessari; il primo, per tenere conto del lavoro compiuto dalle forze agenti sulle basi; il secondo, per l'obbligo di operare su spostamenti congruenti, chiamando

quindi in causa le deformazioni

$$\epsilon_{zt} = \frac{\partial w_t}{\partial z}$$

dovute al fatto che le  $w$  da torsione sono variabili se  $M_c$  o la sezione sono variabili.

Si osservi che, chiamando  $w_1$  i  $w$  connessi con un momento centrale unitario, è

$$w_t = M_c w_1$$

$$\epsilon_{zt} = \frac{\partial w_t}{\partial z} = w_1 \frac{dM_c}{dz} + M_c \frac{\partial w_{1t}}{\partial z} ;$$

se la sezione è costante, è

$$\epsilon_{zt} = w_1 \frac{dM_c}{dz} .$$

Si ha perciò, in tal caso,

$$\begin{aligned} \int_A p'_{sz} w_{st} dA &= - \int_A \sigma'_{sz} w_{st} dA = - \frac{M'_{sx}}{I_x} \int_A y w_{st} dA = \\ &= - \frac{M'_{sx}}{I_x} M_{sc} \int_A y w_1 dA ; \end{aligned}$$

$$\int_V \sigma'_z \epsilon_{zt} dV = \int_0^l \frac{M'_x}{I_x} \frac{dM_c}{dz} \int_A y w_1 dA dz .$$

Si consideri la trave  $AB$  della fig. 16f, di luce  $l = 1$ , con incastro flessionale e appoggio torsionale in  $A$ ; l'appoggio sia tale da consentire ad ogni sezione retta rotazioni  $\vartheta$  intorno alla retta parallela all'asse  $z$  e di traccia  $O$  sul piano della sezione  $B$ . Siano  $x$  ed  $y$  gli assi principali d'inerzia della sezione retta. La trave sia soggetta a due distinte condizioni di carico: 1) due coppie torcenti  $\mathfrak{M}_t$  e  $-\mathfrak{M}_t$  in  $B$  ed  $A$ ; 2) una forza tagliante

$T$  che giace nel piano della sezione  $B$  e passa per il centro di taglio  $C$ . Poichè in 2) è  $\vartheta = 0$ , è pure  $L_{12} = 0$ . D'altro canto è

$$L_{21} = - T \vartheta_B (x_0 - x_c) + \int_A p_{zA} w_t dA ;$$

dalle espressioni

$$\vartheta_B = \vartheta' = \frac{\mathfrak{M}_t}{C_t}$$

$$w_t = \mathfrak{M}_t w_1$$

$$p_{zA} = - \sigma_{zA} = \frac{T}{I_x} y$$

si trae

$$L_{21} = - \frac{T \mathfrak{M}_t}{C_t} (x_0 - x_c) + \frac{T \mathfrak{M}_t}{I_x} \int_A w_1 y dA = 0$$

da cui

$$\int_A w_1 y dA = \frac{I_x}{C_t} (x_0 - x_c) . \quad (78)$$

Analogamente, scambiando  $x$  con  $y$  ed  $y$  con  $-x$ , si ha

$$\int_A w_1 x dA = \frac{I_y}{C_t} (y_c - y_0) . \quad (79)$$

Quindi può scriversi

$$\int_A p'_{Sz} w_{St} dA = - \frac{M'_{Sx}}{C_t} M_{St} (x_0 - x_c)$$

$$\int_V \sigma'_z \epsilon_{zt} dV = \frac{x_0 - x_c}{C_t} \int_0^l M'_x \frac{dM_t}{dz} dz ,$$

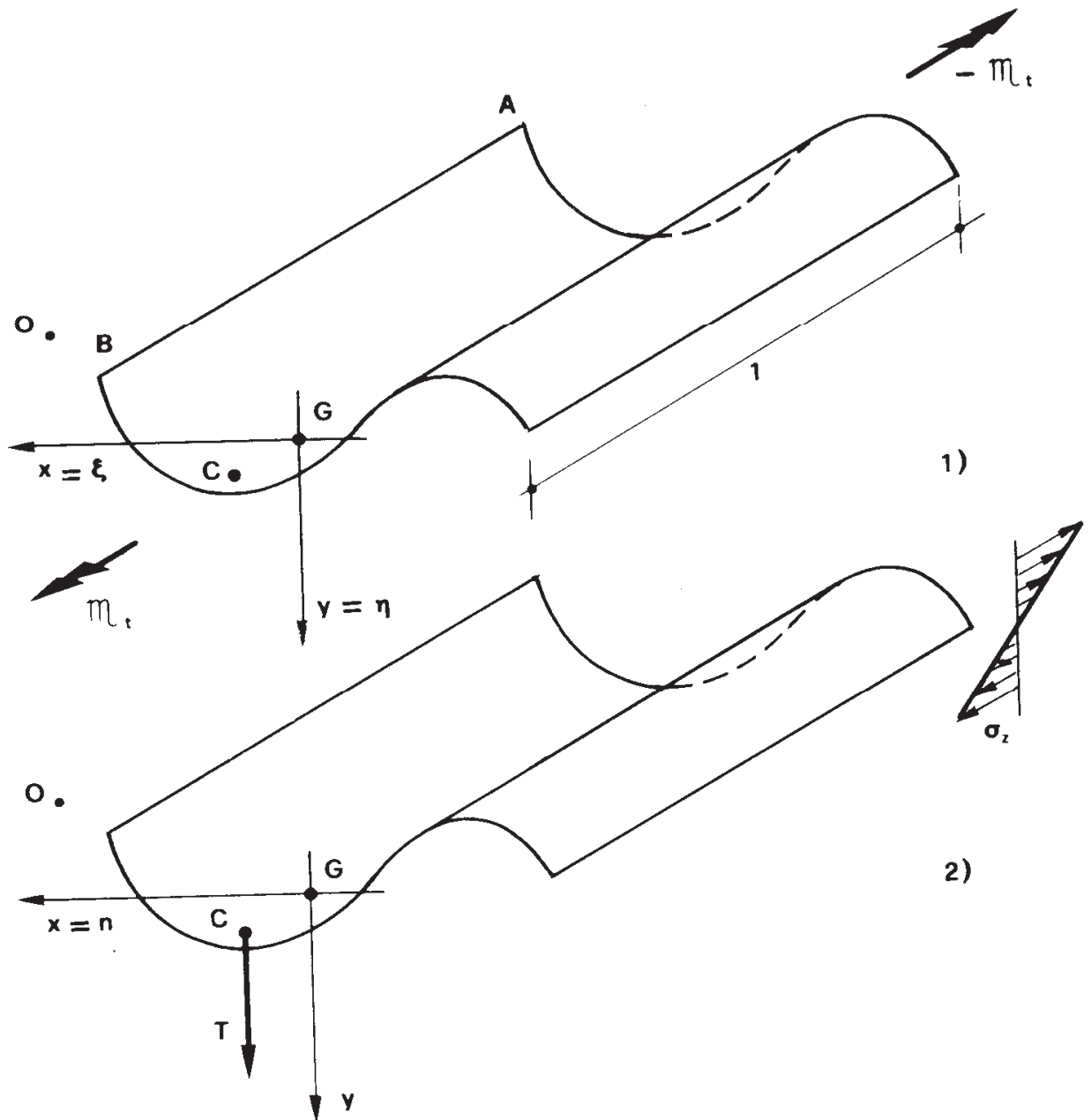


Figura 16f

e la (77) diviene

$$\begin{aligned}
-\frac{x_0 - x_c}{C_t} M'_{Sx} M_{St} &= \frac{1}{EI_x} \int_0^l M'_x M_x dz + \frac{1}{C_t} \int_0^l M'_t M_t dz + \\
&+ \frac{x_0 - x_c}{C_t} \int_0^l M'_x \frac{dM_t}{dz} dz .
\end{aligned} \tag{80}$$

Poichè è

$$\begin{aligned}
\int_0^l M'_x M_x dz &= \frac{ql^4}{8} \\
\int_0^l M_x'^2 dz &= \frac{l^3}{3} \\
\int_0^l M'_t M_t dz &= \frac{ql^2}{2} (x_c - x_r) (x_c - x_q) \\
\int_0^l M_t'^2 dz &= l (x_c - x_r)^2 \\
\int_0^l M'_x \frac{dM_t}{dz} dz &= -\frac{ql^2}{2} (x_c - x_q)
\end{aligned}$$

la (80) si scrive

$$\begin{aligned}
l \frac{x_0 - x_c}{C_t} [-ql(x_c - x_q) - X(x_c - x_r)] &= \\
= \frac{1}{EI_x} \left( \frac{ql^4}{8} + X \frac{l^3}{3} \right) + \\
+ \frac{1}{C_t} \left[ \frac{ql^2}{2} (x_c - x_r) (x_c - x_q) + Xl(x_c - x_r)^2 \right] \\
- \frac{ql^2}{2C_t} (x_0 - x_c) (x_c - x_q) .
\end{aligned}$$

Si ha perciò conferma della (76).

Si osservi che *i termini aggiuntivi scompaiono se è  $x_0 = x_r$ .*

### Problema n. 17.

La trave della fig. 17a è a sezione costante: come sezione si è scelta quella già studiata nel prob. 8 di questo capitolo, esaltata nel rapporto 1 : 10. La trave, vincolata con sette pendoli, è una volta iperstatica, si sceglie come iperstatica  $X$  la reazione del pendolo 7, e quindi la struttura si rende isostatica sopprimendo tale pendolo. La fibra inalterata dalla torsione è quindi quella definita dall'intersezione  $O$  delle proiezioni degli assi dei pendoli 5 e 6 sul piano della generica sezione retta, risulta perciò, che  $O$  coincide con l'intersezione delle linee medie del tratto verticale di sinistra e del tratto orizzontale inferiore della sezione retta. Pertanto risulta (fig. 17b)

$$x_0 - x_c = 48 - 12,22 = 35,78 \text{ cm}$$

$$x'_q - x_c = 48 - 12,22 = 35,78 \text{ cm}$$

$$x''_q - x_c = -50 - 12,22 = -62,22 \text{ cm}$$

$$x_X - x_c = \quad \quad \quad = -12,22 \text{ cm}$$

$$x_X - x_0 = \quad \quad \quad = -48 \text{ cm} ;$$

si sono indicate con  $x'_q$  ed  $x''_q$  le ascisse del carico  $q$ , rispettivamente in  $z \in [0 \text{ m}, 8 \text{ m}]$  e  $z \in [8 \text{ m}, 16 \text{ m}]$ .

Si risolve prima il problema attraverso la scrittura di un'equazione di congruenza. Risulta, separando l'effetto flessionale dal torsionale, (\*)

$$v_{X \text{ fless}}^o = \frac{3}{EI_n} \left( \frac{12^4}{8} + \frac{4 \cdot 12^3}{3} + \frac{4^2}{2} \cdot \frac{12^2}{2} \right) \cos^2(yf) =$$

(\*) La struttura isostatica è la mensola  $AD$ ; se  $AB = l$ ,  $BD = a$ , risulta (fig. 17b,  $q^* = q \cos \alpha$ )

$$\eta_B^o = \frac{q^* l^4}{8 EI} + q^* a \frac{l^3}{3 EI} + q^* \frac{a^2}{2} \frac{l^2}{2 EI}$$

$$\eta_B^t = \frac{1 \cdot l^3}{3 EI} \cos \alpha$$

$$= 16416 \frac{\cos^2(yf)}{EI_n} = \frac{139,08}{E} \cdot 10^4 m ;$$

$$v'_{X \text{ fless}} = \frac{12^3}{3EI_n} \cos^2(yf) = 576 \frac{\cos^2(yf)}{EI_n} = \frac{4,8800}{E} \cdot 10^4 m ;$$

$$\vartheta_B^{\circ} = \int_0^8 \frac{0,358 q dz}{C_t} z - \int_8^{12} \frac{0,622 q dz}{C_t} z - \frac{0,622 \cdot 4q \cdot 12}{C_t} =$$

$$= \frac{q}{C_t} \left( 0,358 \cdot \frac{64}{2} - 0,622 \cdot \frac{80}{2} - 0,622 \cdot 48 \right) = - 43,28 \frac{q}{C_t} ;$$

$$v'_{X \text{ tor}} = (x_X - x_0) \vartheta_B^{\circ} = - 0,480 \vartheta_B^{\circ} =$$

$$= 20,77 \frac{q}{C_t} = \frac{104,12}{E} 10^4 m t^{-1} ;$$

$$\vartheta_B^1 = - \frac{0,122 \cdot 12}{C_t} = - \frac{1,464}{C_t} t^{-1} ;$$

$$v'_{X \text{ tor.}} = (x_X - x_0) \vartheta_B^1 = \frac{0,703}{C_t} m t^{-1} =$$

$$= \frac{1,1747}{E} 10^4 m t^{-1} .$$

e ancora

$$v_B^{\circ} = \eta_B^{\circ} \cos \alpha$$

$$v'_B = \eta'_B \cos \alpha .$$

Il momento d'inerzia  $I_n$  è (fig. 8c,  $n \equiv s_2$ )

$$I_n = I_{\xi} \cos^2 39,855 + I_n \sin^2 39,855 = 1,0950 \cdot 10^6 \text{ cm}^4 = 109,50 \cdot 10^{-4} m^4 .$$

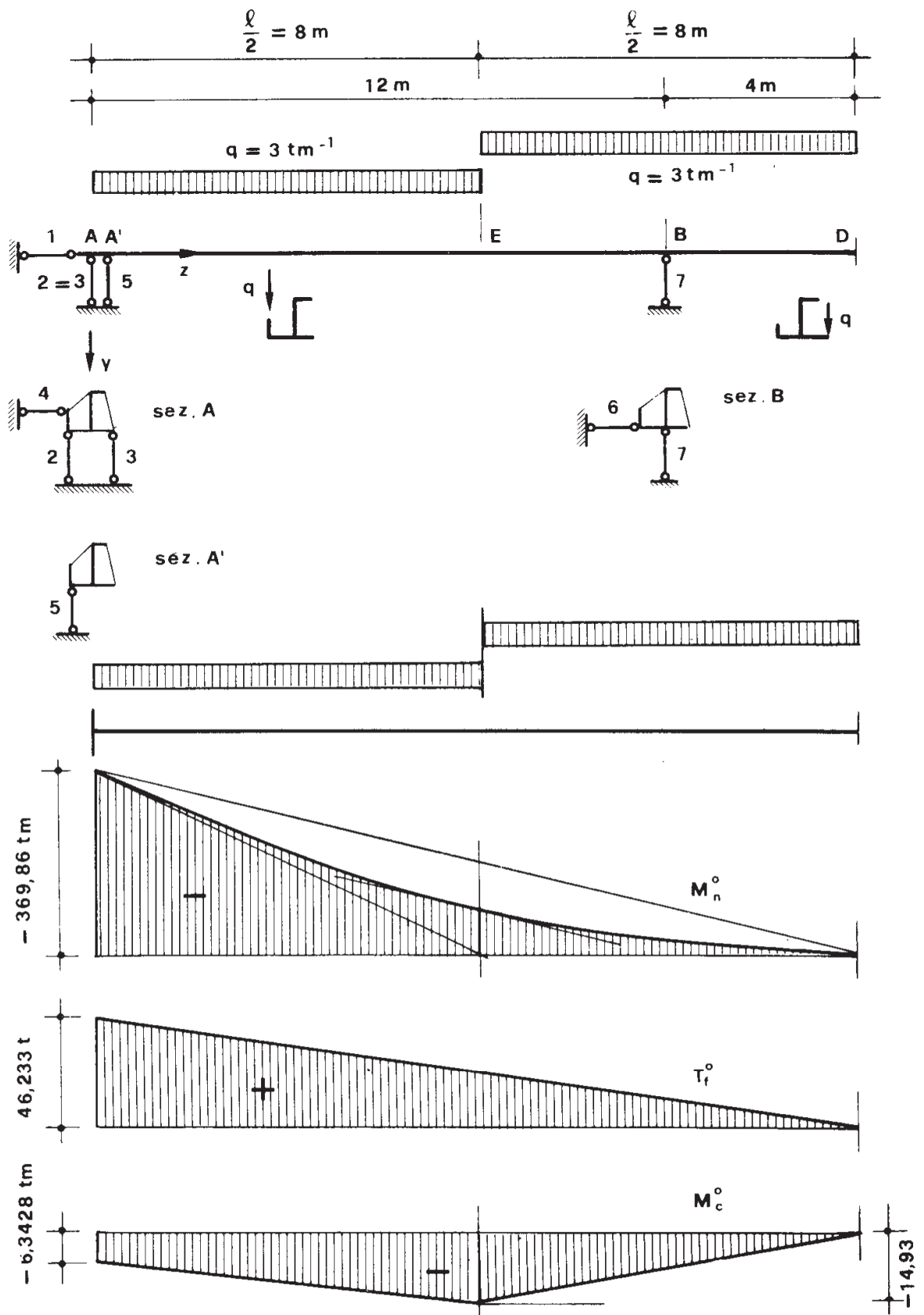


Figura 17a

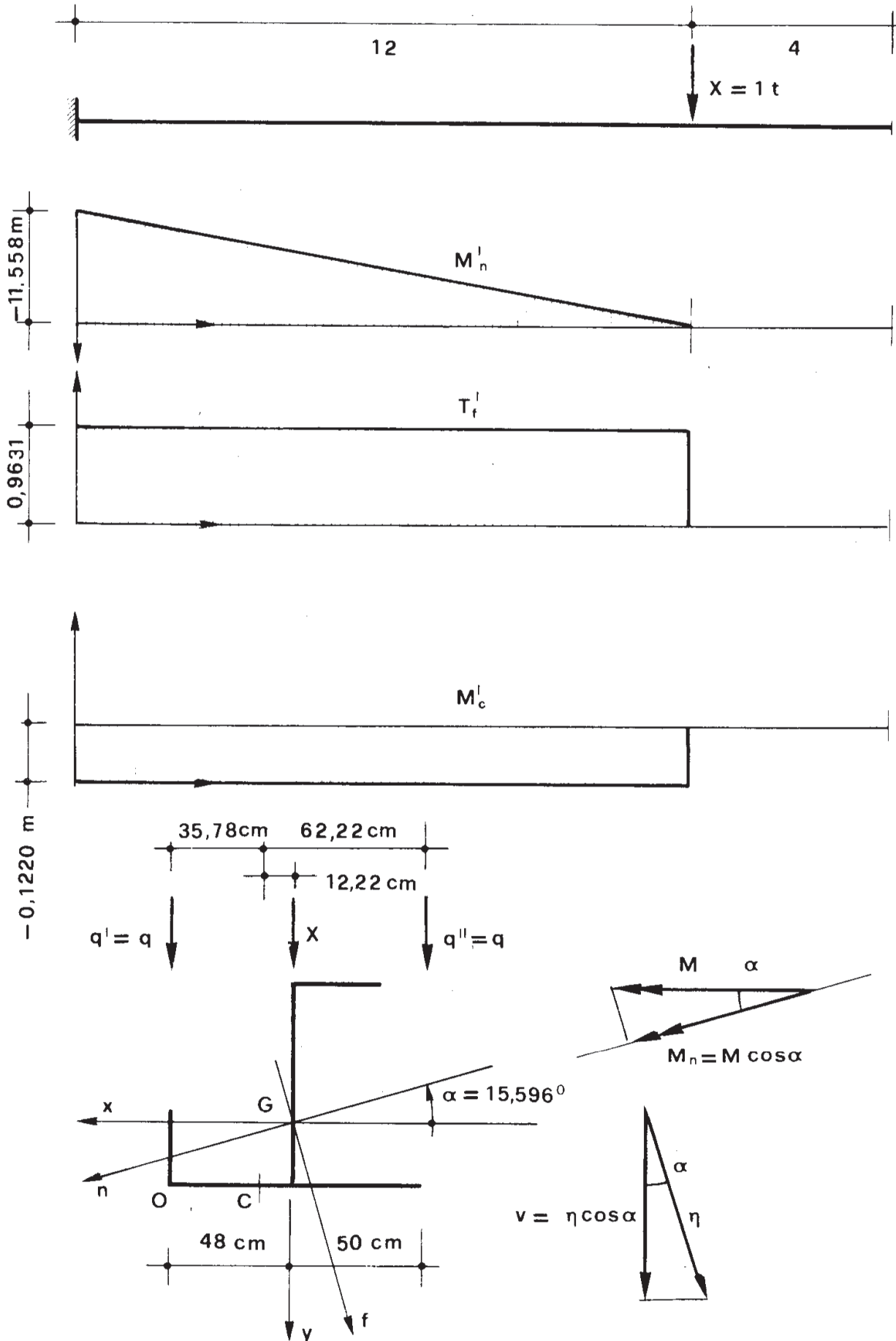


Figura 17b

Perciò, tenendo conto del solo effetto flessionale si ha

$$X = - \frac{16416}{576} - \frac{139,08}{4,88} = - 28,50 t \quad (81)$$

mentre tenendo conto anche dell'effetto torcente è

$$X = - \frac{139,08 + 104,12}{4,88 + 1,1747} = - 40,19 t . \quad (82)$$

Per i calcoli di cui sopra si sono dovuti ricavare i seguenti dati :

$$\begin{aligned} I_n &= I_\xi \cos^2 41,75^\circ + I_n \sin^2 41,75^\circ = \\ &= 1,080 \cdot 10^{-2} m^4 ; \\ C_t &= \frac{G}{3} \sum s_i \delta_i^3 = 1,187 G \cdot 10^{-3} tm^2 ; \end{aligned}$$

ponendo  $G = \frac{E}{2}$ , si ha

$$C_t = 0,5935 E \cdot 10^{-3} tm^2 .$$

Si ha inoltre

$$A = 0,1224 m^2 .$$

Lo stesso problema si risolve adesso attraverso il principio dei lavori virtuali; nel corso di esso si terrà conto anche delle deformazioni da taglio.

I diagrammi delle caratteristiche  $M_n^o$ ,  $T_f^o$  ed  $M_t^o$ , dovute al carico  $q$ , quelli delle caratteristiche  $M_n'$ ,  $T_f'$  ed  $M_t'$ , dovute ad  $X = 1$ , sono riportati nelle fig. 17a e 17b; nella fig. 17b è anche disegnata la sezione retta con le posizioni del carico  $q'$  in  $z \in [0 m, 8 m]$ ; del carico  $q''$  in  $z \in [8 m, 16 m]$ , e della reazione  $X = 1$  in  $z = 12 m$ . Si osserva che sia  $q$  che  $X$  sono diretti secondo  $y$ , e l'asse neutro  $n$  quindi è lo stesso in tutte le sezioni; risulta (vedi prob. 8)

$$(x n) = (y f) = 15,596^\circ .$$

Per tenere conto anche del taglio, si calcola il fattore di taglio  $\chi_n$  relativo all'asse neutro  $n$ . A ciò fare, si sollecita la sezione (fig. 17d) con una forza tagliante (e quindi  $\exists C$ ) nella direzione e nel verso di  $s = y$ ; la forza sia  $T = 1000 Kg$ . Le componenti di  $T$  secondo le due direzioni preferenziali, coniugate di  $x$  ed  $y$ , e dette  $s_1$  ed  $s_2$  (fig. 8c) sono fornite dal sistema

$$T_1 \cos 10,6^\circ - T_2 \cos 74,4 = 1000$$

$$T_1 \sin 10,6^\circ - T_2 \sin 74,4 = 0$$

da cui

$$T_1 = 1073 Kg$$

$$T_2 = 205 Kg$$

Le  $\tau'$  da taglio dovute alla  $T = 1 t$  agente secondo  $y$  sono quindi (fig. 17d) somma di quelle della fig. 8g (lette in  $Kg cm^{-2}$ ) moltiplicate per 1,073 e di quelle dovute dalla fig. 8g (lette in  $Kg cm^{-2}$ ) moltiplica-

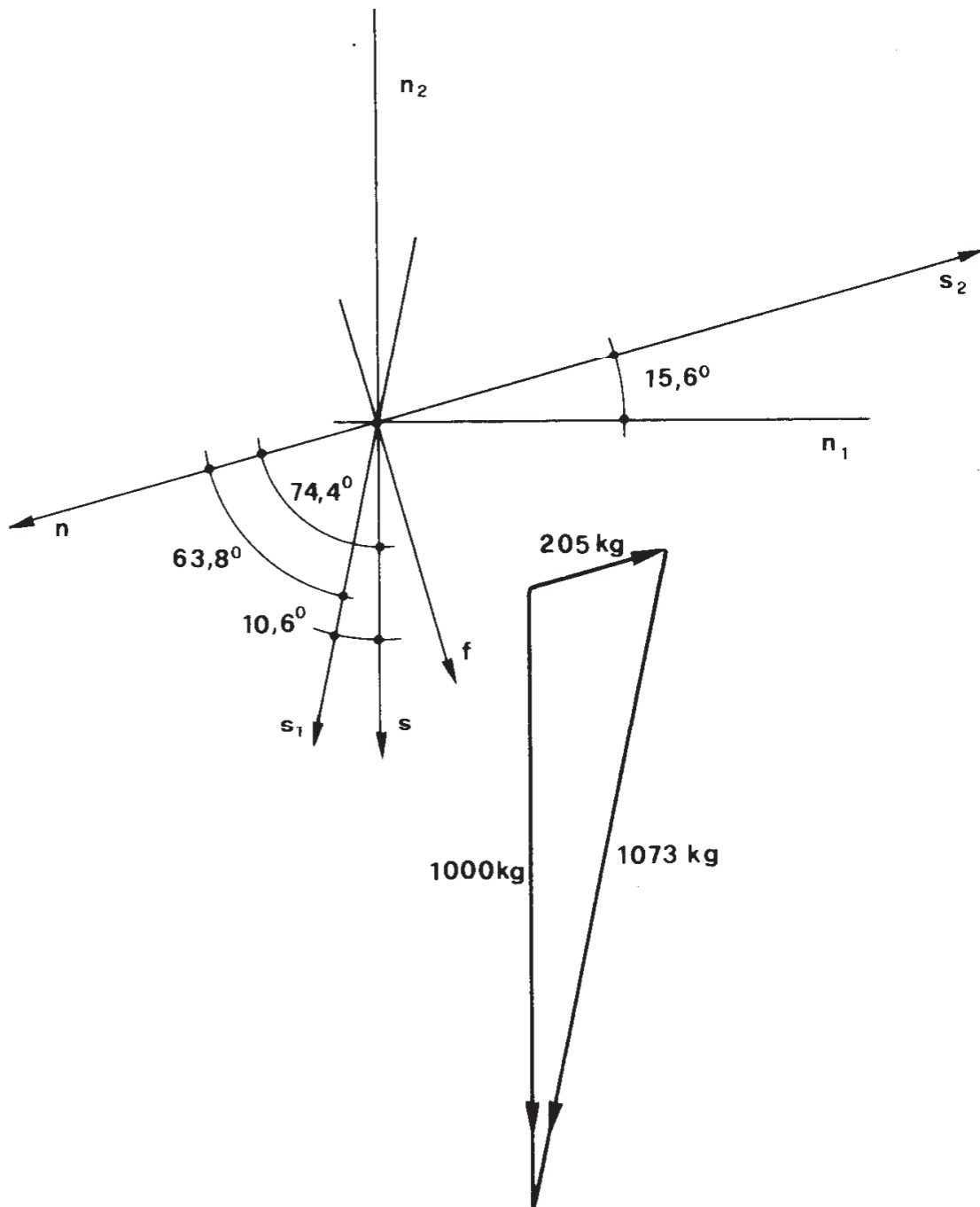


Figura 17c

te per 0,205. Si ha così, per la relazione energetica

$$\chi_n \frac{T_f^2}{2GA} = \frac{1}{2} \int_A \tau' \gamma' dA = \frac{1}{2G} \int_s \tau'^2 \delta ds .$$

l'espressione di  $\chi_n$ :

$$\chi_n = \frac{A}{T_f^2} \int_s \tau'^2 \delta ds = \frac{A}{\cos^2(\gamma f)} \int_s \tau'^2 \delta ds ; \quad (83)$$

nel caso in esame si ha, per  $T = 1000 \text{ Kg}$ ,

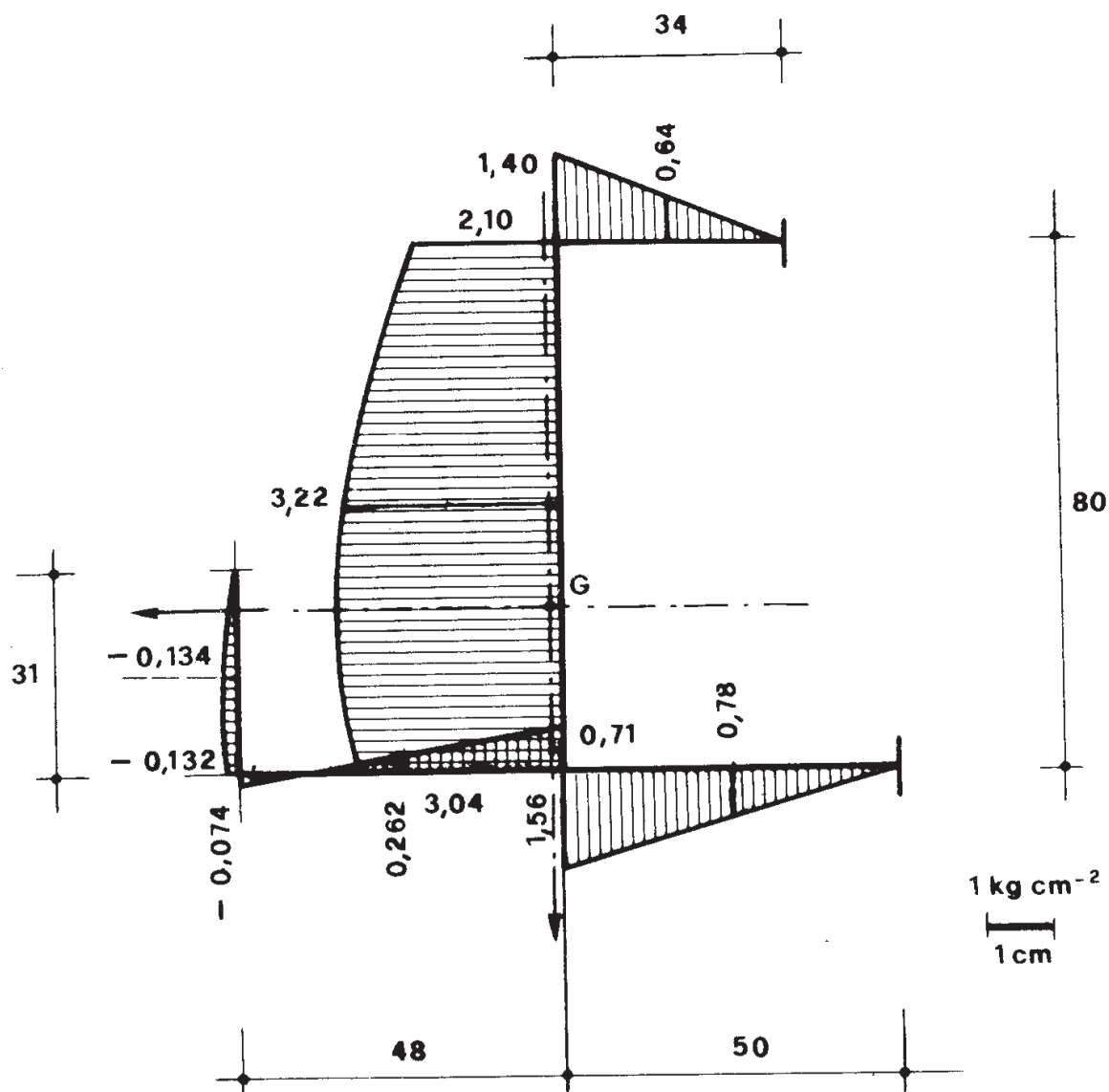


Figura 17d

$$\int_s \tau'^2 \delta ds = 3,24 \cdot 10^{-3} \text{ cm}^{-2}$$

e quindi

$$\chi_n = \frac{1224 \cdot 3,24 \cdot 10^{-3}}{\cos^2(yf)} = 4,27 .$$

L'equazione dei lavori virtuali si scrive

$$\begin{aligned} \int_A p'_{Az} w_{At} dA &= \frac{1}{EI_n} \int_0^l M'_n M_n dz + \frac{\chi_n}{GA} \int_0^l T'_f T_f dz + \\ &+ \frac{1}{C_t} \int_0^l M'_0 M_0 dz + \int_V \sigma'_z \epsilon_{zt} dV . \end{aligned} \quad (84)$$

Una dimostrazione analoga a quella della fig. 16f, eseguita per il caso più generale in cui  $n$  non è principale d'inerzia, porge<sup>(\*)</sup>

$$L_{21} = T \frac{\mathfrak{m}_t}{C_t} d_{os} + \int_A \frac{T \cos(yf)}{I_n} d_n \cdot \mathfrak{m}_t w_1 dA = 0$$

da cui

$$\int_A \dot{w}_1 d_n dA = - d_{os}^n \frac{I_n}{C_t} . \quad (85)$$

Può quindi scriversi

$$\begin{aligned} \int_A p'_{Az} w_{At} dA &= - \frac{M'_{nA} M_{0A}}{I_n} \int_A d_n w_1 dA = \\ &= \frac{M'_{nA} M_{0A}}{C_t} d_{os}^n ; \end{aligned}$$

$$\int_V \sigma'_z \epsilon_{zt} dV = \frac{1}{I_n} \int_0^l M'_n \frac{dM_c}{dz} \int_A d_n w_1 dA =$$

(\*) Si chiama  $d_{os}$  la distanza del centro di rotazione  $O$  dalla retta orientata  $s$  ( $\epsilon \cdot C$ ) misurata normalmente ad  $s$ ,  $d_{os}^n$  la stessa distanza misurata secondo  $n$ .

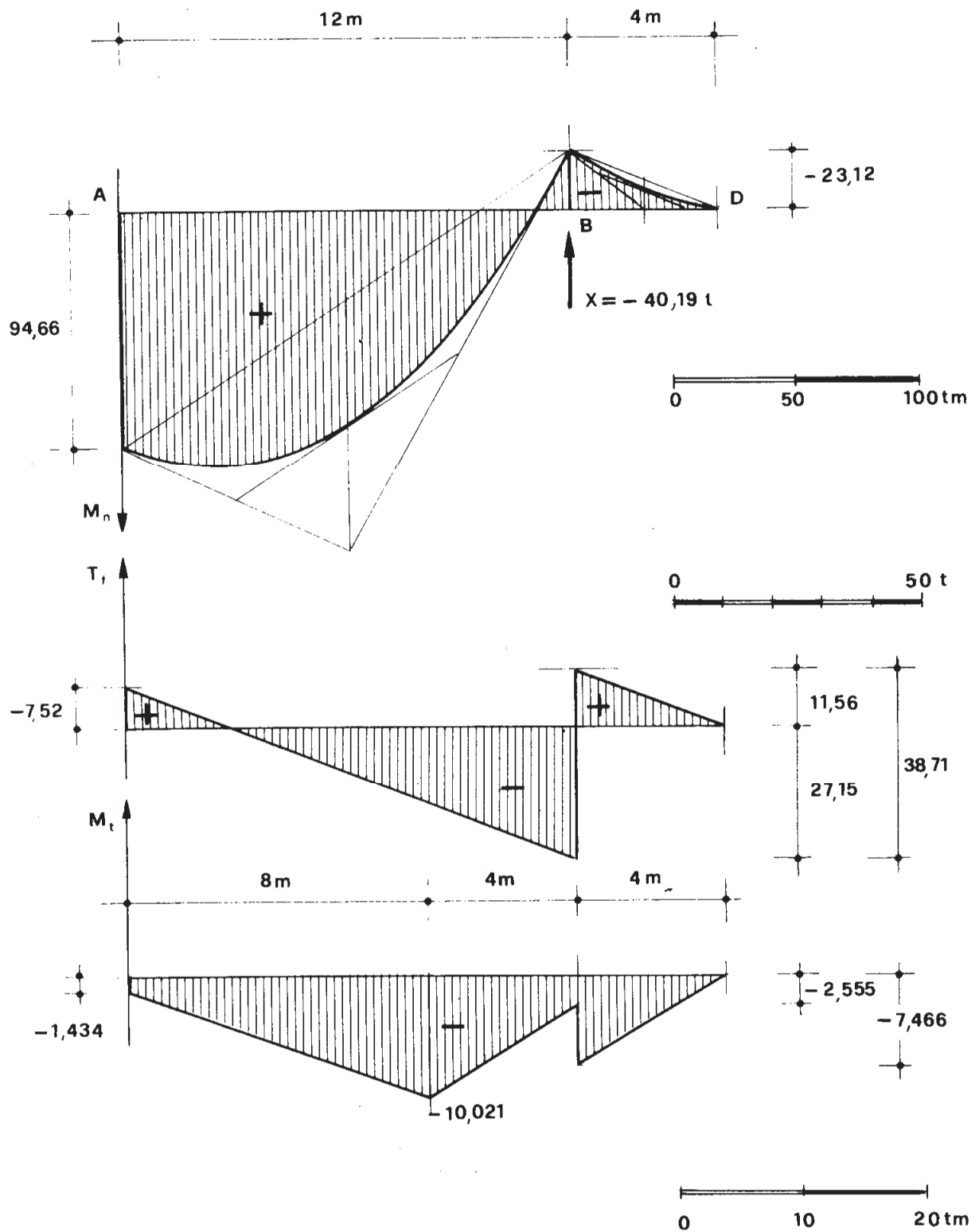


Figura 17e

$$= -\frac{d_{os}^n}{C_t} \int_0^l M'_n \frac{dM_c}{dz} dz .$$

Quindi l'equazione (84) si scrive

$$\begin{aligned} \frac{M'_{nA} M_{cA}}{C_t} d_{os}^n &= \frac{1}{EI_n} \int_0^l M'_n M_n dz + \frac{\chi_n}{GA} \int_0^l T'_f T_f dz + \\ &+ \frac{1}{C_t} \int_0^l M'_o M_o dz - \frac{d_{os}^n}{C_t} \int_0^l M'_n \frac{dM_o}{dz} dz . \end{aligned} \quad (86)$$

Nel caso in esame è

$$d_{os}^n = -\frac{0,3578}{\cos 15,596} = -0,344 \text{ m} ;$$

$$\int_0^l M'_n M_n dz = 15060 \text{ tm}^3 ;$$

$$\int_0^l M_n'^2 dz = 528,44 \text{ m}^3 ;$$

$$\int_0^l T'_f T_f dz = 330,18 \text{ tm} ;$$

$$\int_0^l T_f'^2 dz = 11,008 \text{ m} ;$$

$$\int_0^l M'_c M_c dz = 15,838 \text{ tm}^3 ;$$

$$\int_0^l M_c'^2 dz = 0,179 \text{ m}^3 ;$$

$$\int_0^l M'_n \frac{dM_c^o}{dz} dz = 52,52 \quad tm^2 ;$$

$$\int_0^l M'_n \frac{dM'_c}{dz} dz = 0 .$$

E' inoltre (fig. 17a, b)

$$M'_{nA} = - 11,56 \quad m$$

$$M^o_{cA} = - 6,343 \quad tm$$

$$M'_{cA} = - 0,1220 \quad tm .$$

La (86) si scrive perciò come segue:

$$\begin{aligned} & - 45,70 \cdot 10^4 - 87,91 \cdot 10^2 X = \\ & = 13,945 \cdot 10^5 + 48,93 \cdot 10^3 X + \\ & + 23,31 \cdot 10^3 + 77,70 \cdot 10 X + \\ & + 26,686 \cdot 10^4 + 30,16 \cdot 10^2 X + \\ & + 32,38 \cdot 10^4 . \end{aligned}$$

Si ha quindi

$$X = - \frac{2,465 \cdot 10^6}{6,161 \cdot 10^4} = - 40 \quad t .$$

Se si tiene conto del solo effetto flettente è

$$X = \frac{1394,5}{48,93} = - 28,5 \quad t ,$$

in accordo con la (81).

Se si tiene conto dei soli effetti flettenti e torcenti, è

$$X = - \frac{2,442 \cdot 10^6}{6,083 \cdot 10^4} = - 40,14 t ,$$

in buon accordo con la (82).

Si osserva perciò che l'effetto delle deformazioni da taglio sulla  $X$  non sono, nel caso in esame, influenti fino alla quarta cifra significativa; invece l'effetto delle deformazioni torsionali è del 40 % sulla  $X$ .

Nella fig.17e sono riportati i diagrammi delle caratteristiche.

Si osservi qui che se si fosse posto il pendolo 5 in asse con il 7, l'effetto torsionale sarebbe stato nullo; onde la notevole e a prima vista insospettabile importanza della *posizione del vincolo*.

Si passi adesso alla verifica della sezione  $B$  (fig.17f). Si ricercano prima le  $\sigma_z$ ; i due punti più distanti dell'asse neutro  $n$  sono 1 e 2, cui corrispondono le distanze da  $n$  (prese normalmente ad  $n$ )

$$d_{1n} = 0,405 m$$

$$d_{2n} = 0,565 m .$$

Quindi è

$$\sigma_1 = \frac{M_n}{I_n} d_{1n} = - \frac{23,12}{109,5 \cdot 10^{-4}} 0,405 = - 855 tm^{-2} = - 85,5 Kg cm^{-2}$$

$$\sigma_2 = \frac{M_n}{I_n} d_{2n} = \frac{23,12}{109,5 \cdot 10^{-4}} 0,565 = 1193 tm^{-2} = 119,3 Kg cm^{-2} .$$

Si determinano successivamente le  $\tau_z$  da taglio. Risulta  $T_f = 27,15 t$ , e quindi  $T = 28,18 t$ . Le  $\tau$  da taglio sono perciò quelle della fig. 17d, moltiplicate per 28,18.

Infine si ricavano le  $\tau_z$  da torsione. Poichè è

$$\frac{C_t}{G} = 1,197 \cdot 10^{-4} m^4 = 1,197 \cdot 10^4 cm^4$$

risulta, per l'angolo specifico di torsione, il valore

$$\vartheta' = \frac{M_t}{C_t} = - \frac{268600}{11970 G} = - \frac{22,44}{G} cm^{-1}$$

e quindi

$$\text{rot } \tau = 2 G \vartheta' = - 44,88 \text{ Kg cm}^{-3} .$$

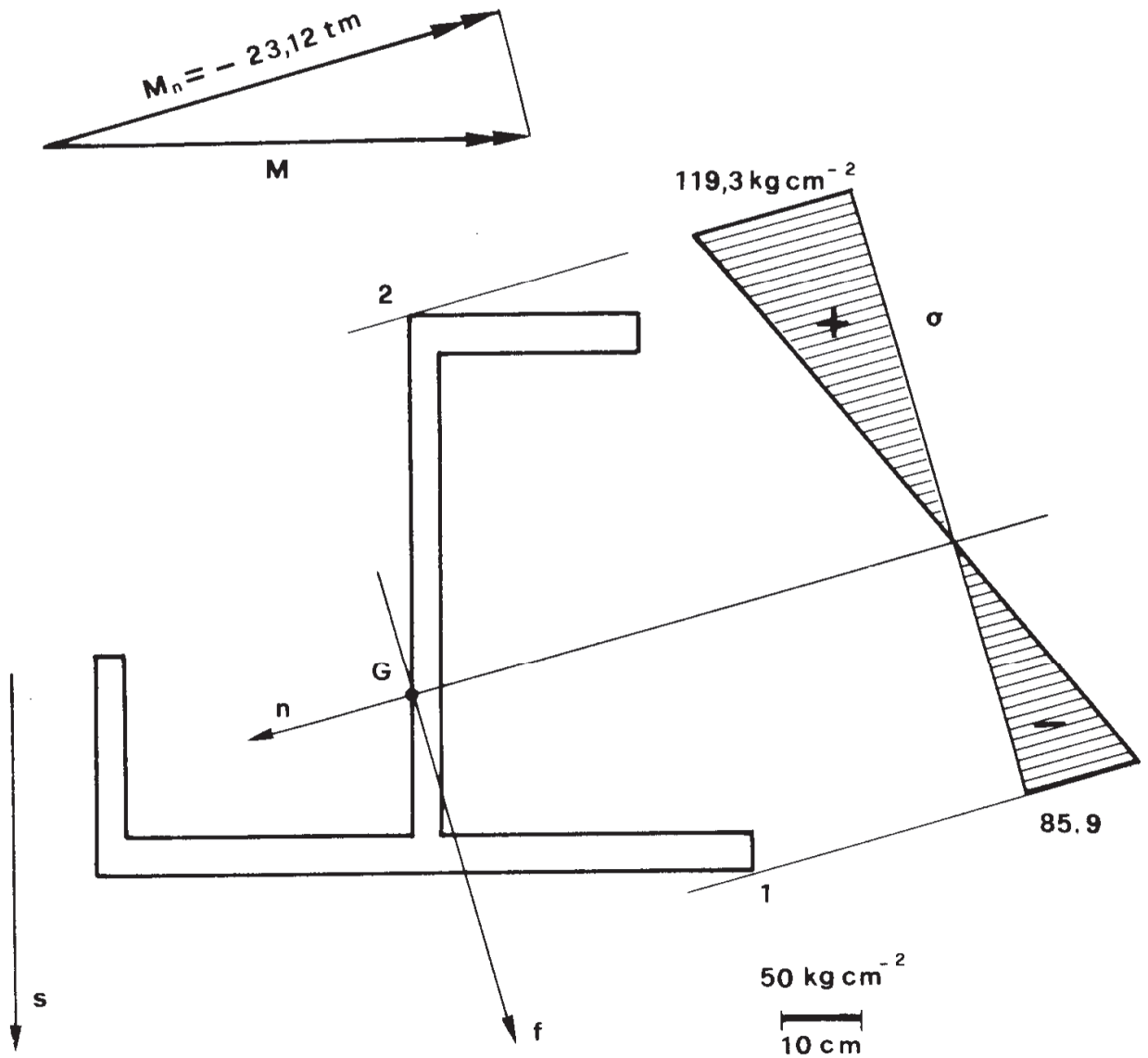


Figura 17f

Si ha perciò nei tratti di spessore  $\delta = 6 \text{ cm}$

$$|\tau|_{max} = |2 G \vartheta'| \cdot \frac{\delta}{2} = 134,64 \text{ Kg cm}^{-2} ,$$

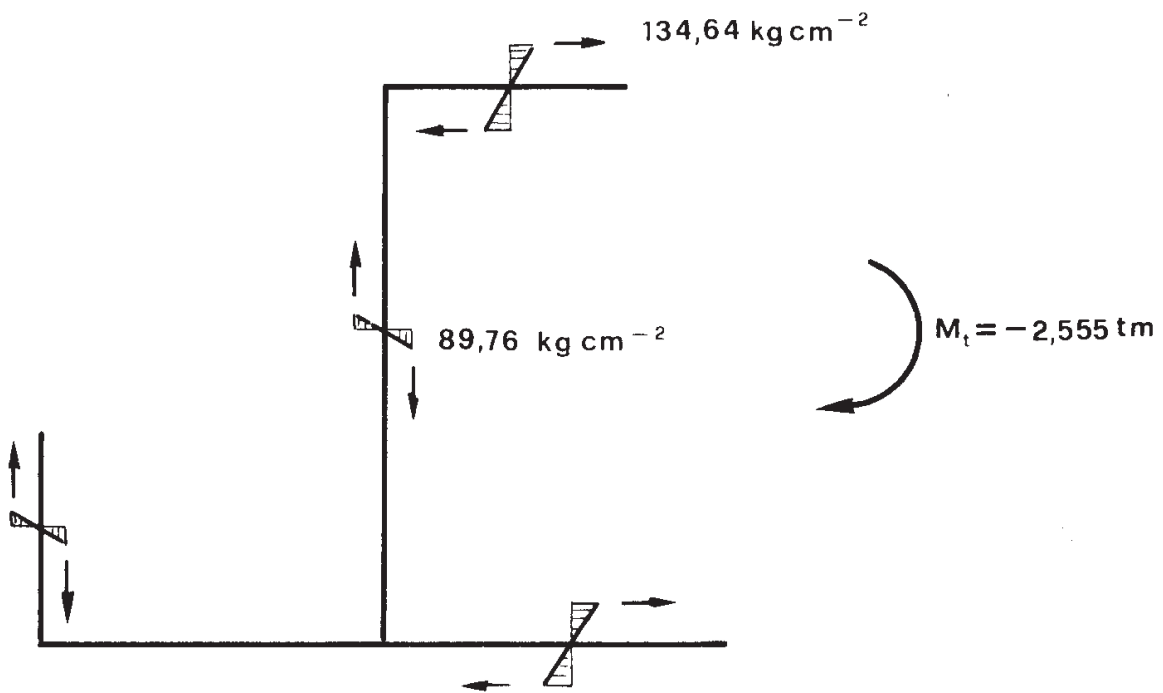
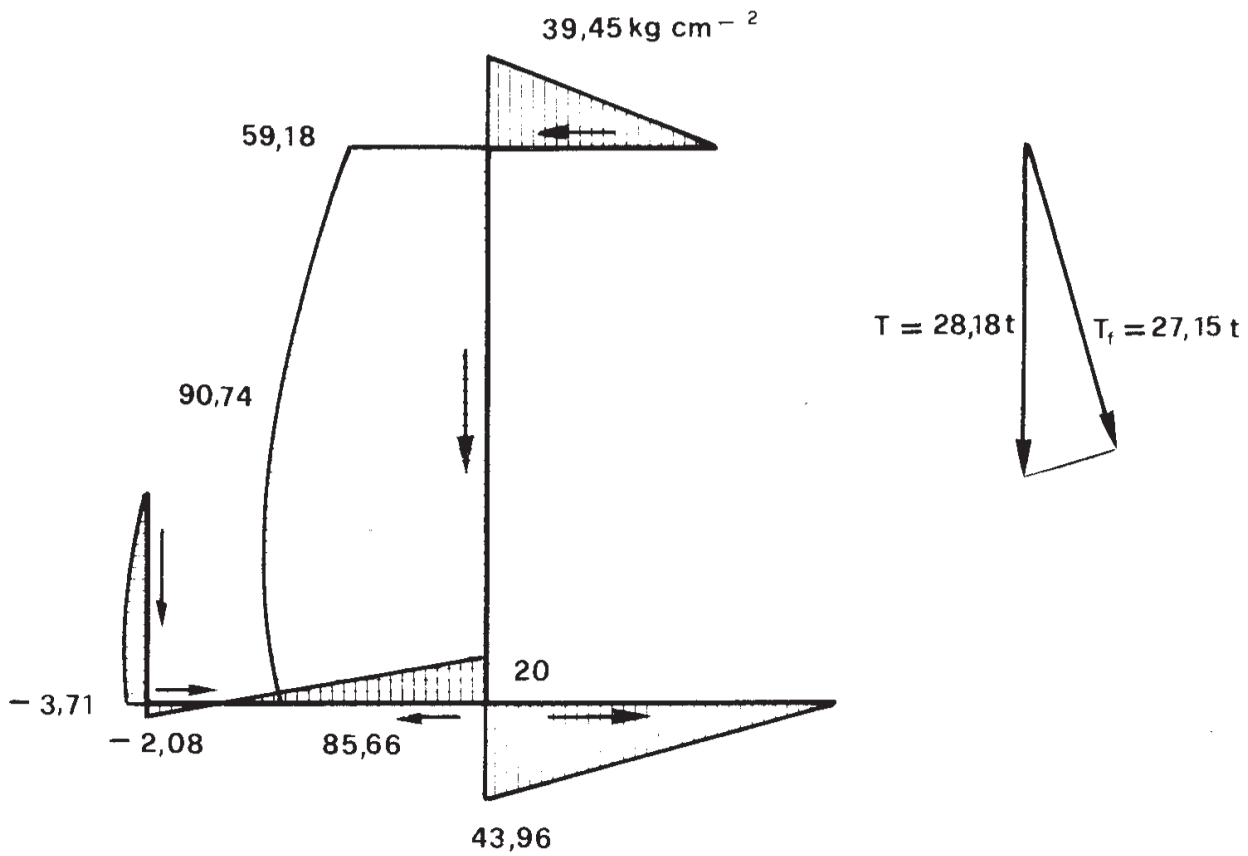


Figura 17g

e nei tratti di spessore  $\delta = 4 \text{ cm}$

$$|\tau|_{max} = 89,76 \text{ Kg cm}^{-2}$$

### Problema n. 18.

Nel problema n. 17 sia il carico applicato che la reazione iperstatica inducevano deformazioni flessionali e torsionali sul sistema principale. Nel problema della fig. 18a, invece, si ha che il carico applicato, costituito da coppie  $m_t$  uniformemente distribuite, provoca solo deformazioni torsionali, mentre la reazione  $X$  (sforzo nel pendolo 7) genera solo deformazioni flessionali, poichè  $X$  passa per il centro di taglio  $C$ . La trave è identica, come vincoli, alla trave prob. 17, fatta eccezione del pendolo 7.

Per effetto delle coppie  $m_t$  si ha

$$\vartheta_B^\circ = \int_0^l \frac{m_t dz}{C_t} \quad z = \frac{m_t}{C_t} \frac{l^2}{2}$$

e quindi

$$v_x^\circ = \vartheta_B^\circ d_{os} = \frac{m_t l^2 d_{os}}{2 C_t}$$

Per effetto della  $X = 1$  è

$$v_x' = \frac{\cos(yf) \cdot l^3}{3 EI_n} \cos(yf) = \frac{l^3}{3 EI_n} \cos^2(yf)$$

Dalla relazione di congruenza

$$v_x^\circ + X v_x' = 0$$

si trae

$$X = - \frac{3}{2} \frac{EI_n}{C_t} \frac{d_{os}}{l} \frac{m_t}{\cos^2(yf)} \quad (87)$$

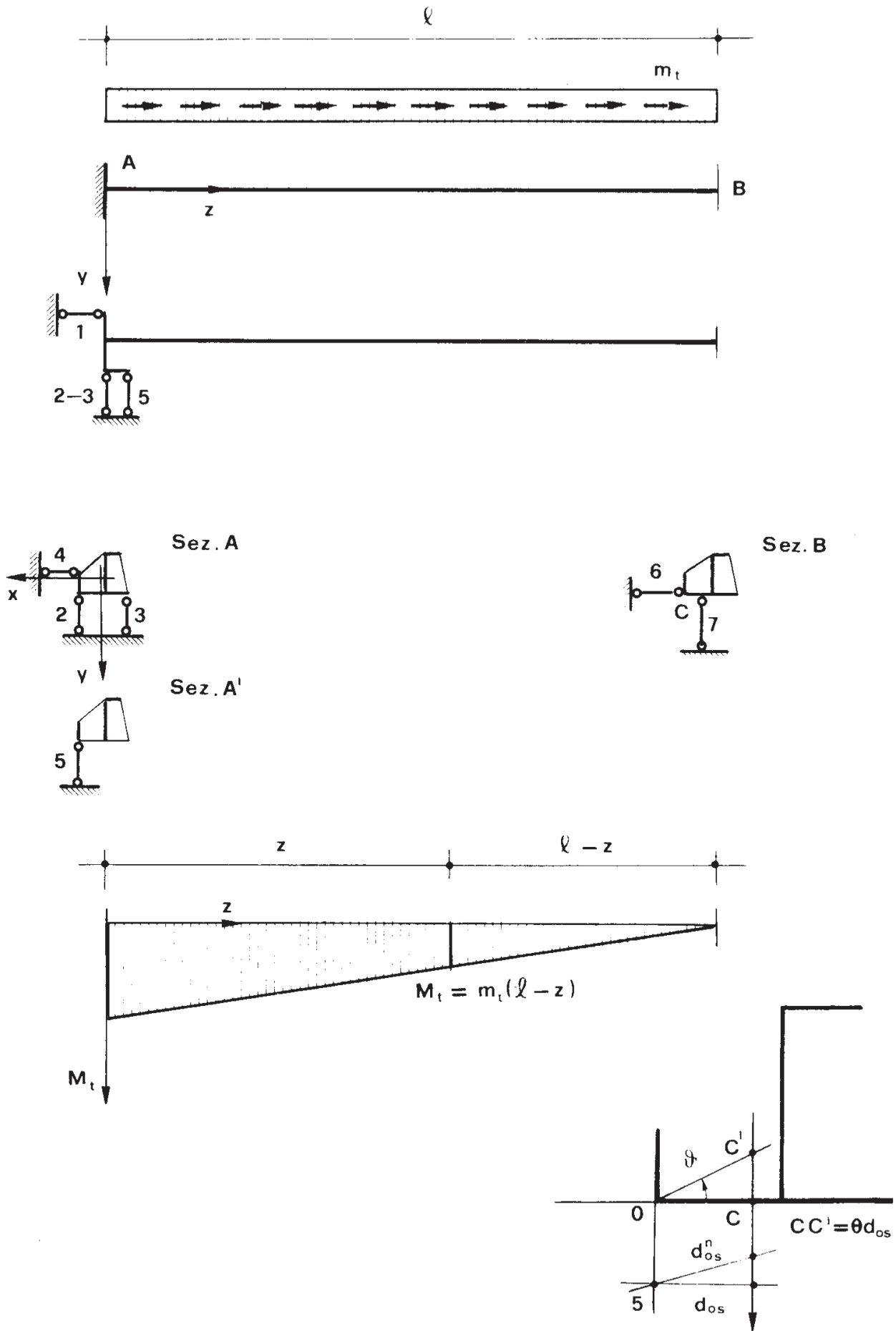


Figura 18a

Seguendo la strada del principio dei lavori virtuali (fig. 18b) si scrive l'equazione (86)

$$\frac{M'_{nA} M_{oA}}{C_t} d_{os}^n = \frac{1}{EI_n} \int_0^l M'_n M_n dz - \frac{d_{os}^n}{C_t} \int_0^l M'_n \frac{dM_o}{dz} dz .$$

Poichè è

$$M'_{nA} = -l \cos(\gamma f)$$

$$M_{oA} = m_t l$$

$$\int_0^l M_n'^2 dz = \cos^2(\gamma f) \int_0^l (l-z)^2 dz = \frac{l^3}{3} \cos^2(\gamma f)$$

$$\int_0^l M'_n \frac{dM_o}{dz} dz = \int_0^l (l-z) \cos(\gamma f) \cdot m_t dz = m_t \int_0^l (l-z) dz = m_t \cos(\gamma f) \cdot \frac{l^2}{2} ,$$

si trae

$$-\frac{m_t l^2 d_{os}^n}{C_t} \cos(\gamma f) = \frac{X l^3}{3 EI_n} \cos^2(\gamma f) - \frac{d_{os}^n}{C_t} m_t \frac{l^2}{2} \cos(\gamma f)$$

da cui

$$-\frac{m_t l^2 d_{os}^n}{2 C_t} = X \frac{l^3}{3 EI_n} \cos(\gamma f)$$

e quindi

$$X = -\frac{3}{2} \frac{EI_n}{C_t} \frac{d_{os}^n}{l} \frac{m_t}{\cos(\gamma f)} ;$$

tale espressione coincide con la (87), perchè  $d_{os}^n \cos(\gamma s) = d_{os}$  .

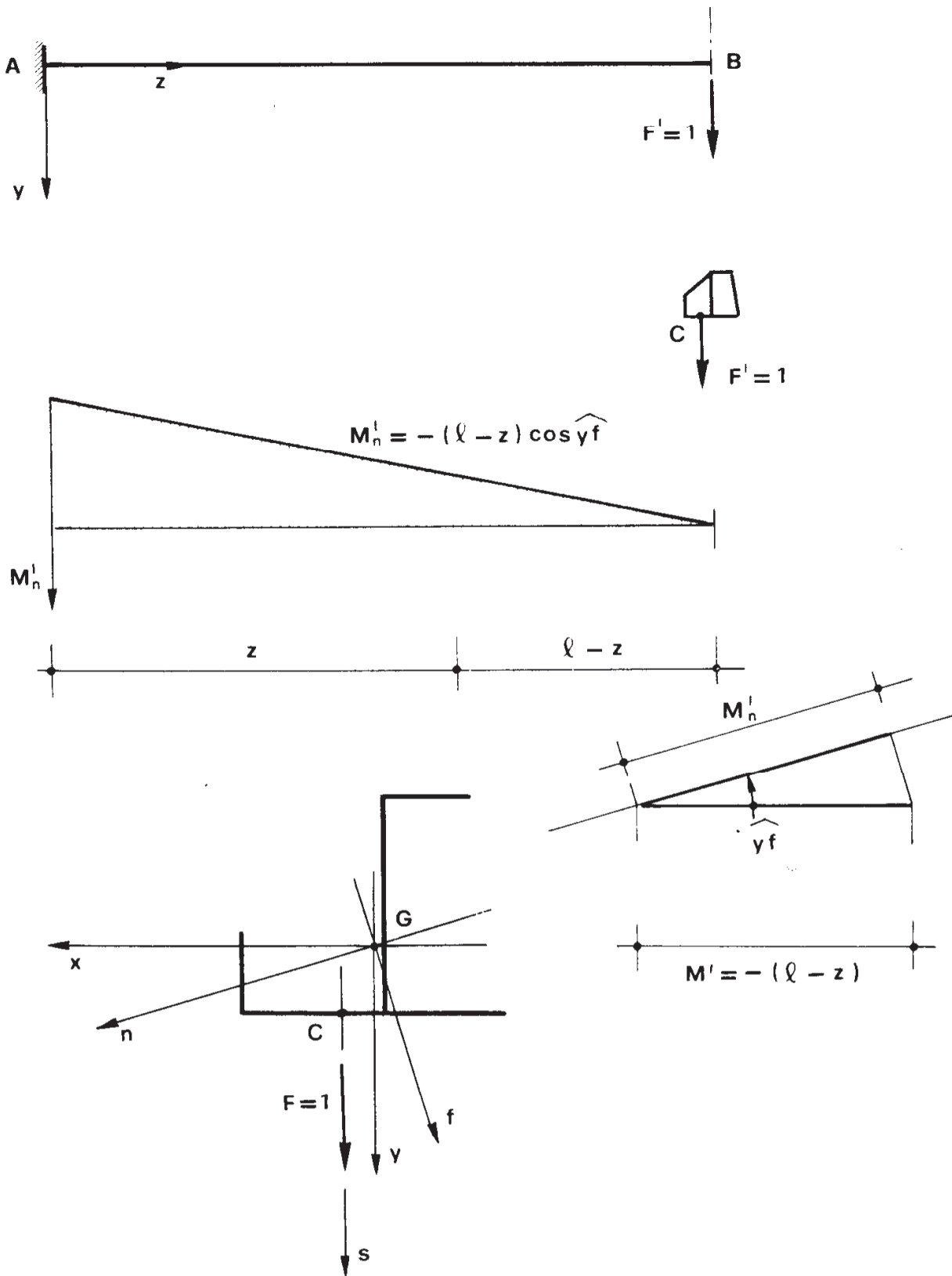


Figura 18b

**Problema n. 19.**

La trave della fig.19a si rende isostatica eliminando il pendolo in  $B$ . Poichè sia il carico  $q$  che la reazione  $X$  contengono il centro di taglio  $C$ , la struttura non presenta alcuna deformazione torsionale; è questo il motivo per cui non si è fatta alcuna precisazione sulle effettive condizioni di vincolo, e cioè sulla effettiva ubicazione dei pendoli, e quindi sulla posizione del centro di rotazione torsionale  $O$ . Gli assi di sollecitazione  $s^\circ$  ed  $s'$  relativi al carico  $q$  ed alla reazione  $X$  non coincidono: chiamando  $m$  la retta baricentrica parallela al vettore momento,  $n$  l'asse neutro, si ha

$$\begin{aligned} s^\circ &= y \\ m^\circ &= x ; \end{aligned}$$

i valori degli angoli che le rette  $s^\circ, m^\circ, n^\circ$ , ed  $s', m', n'$ , formano tra loro e con gli assi principali d'inerzia sono riportati nella fig.19b.

Per effetto del carico  $q$  la sezione  $B$  trasla nella direzione  $f^\circ$ , ortogonale ad  $n^\circ$ , della quantità(\*)

(\*) Fissati i versi di  $s^\circ$  ed  $s'$ , sono fissati anche quelli di  $m^\circ$  ed  $m'$ , poiché il verso  $ms$  di rotazione deve essere antiorario. Il verso di  $n^\circ$  ed  $n'$  si fissa in modo che l'angolo  $n^\circ m^\circ$  e quello  $n' m'$  siano minori di  $\frac{\pi}{2}$ ; il verso di  $f^\circ$  ed  $f'$  è tale che i versi della rotazione  $f^\circ s^\circ$  e della  $f' s'$  siano antiorari.

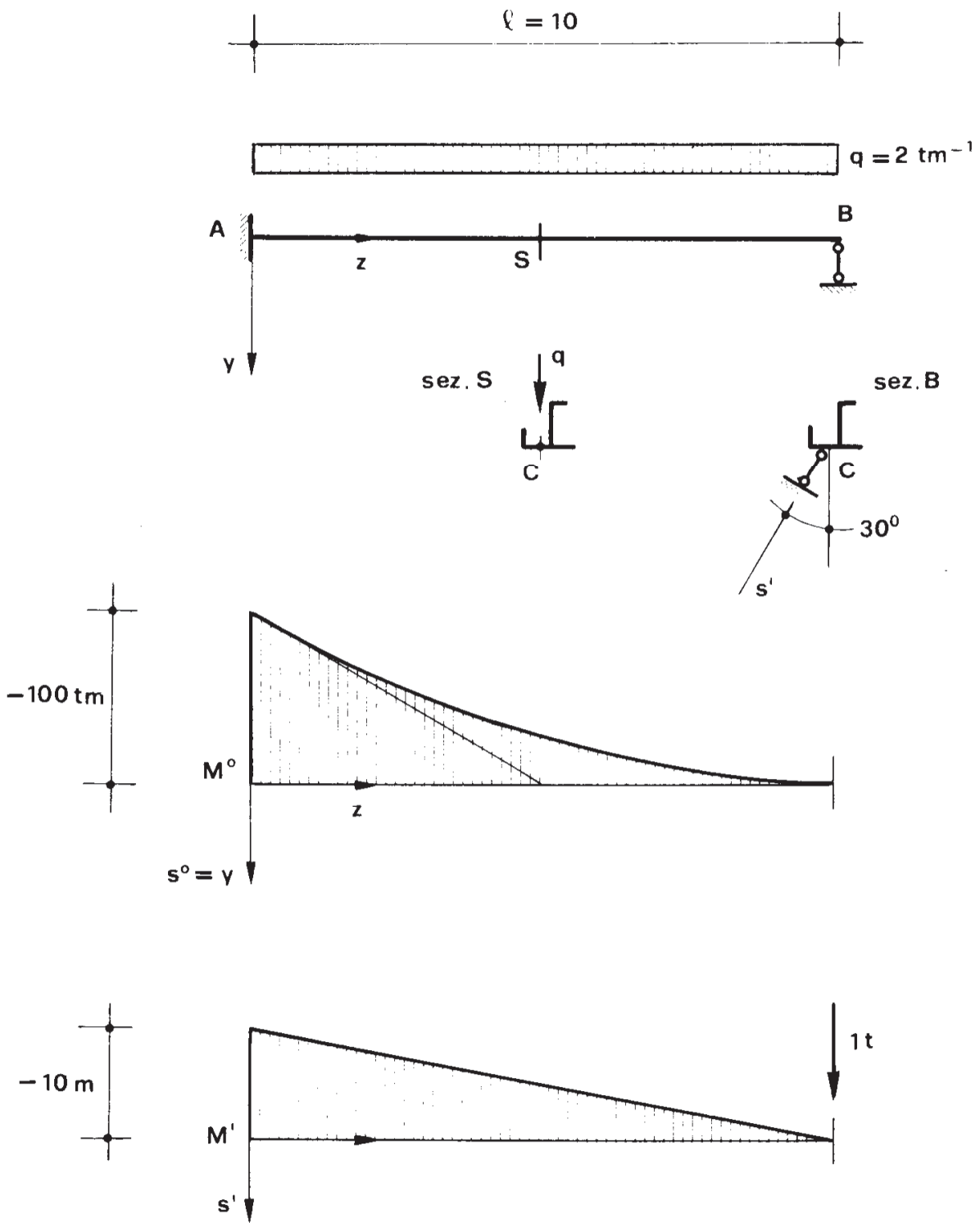


Figura 19a

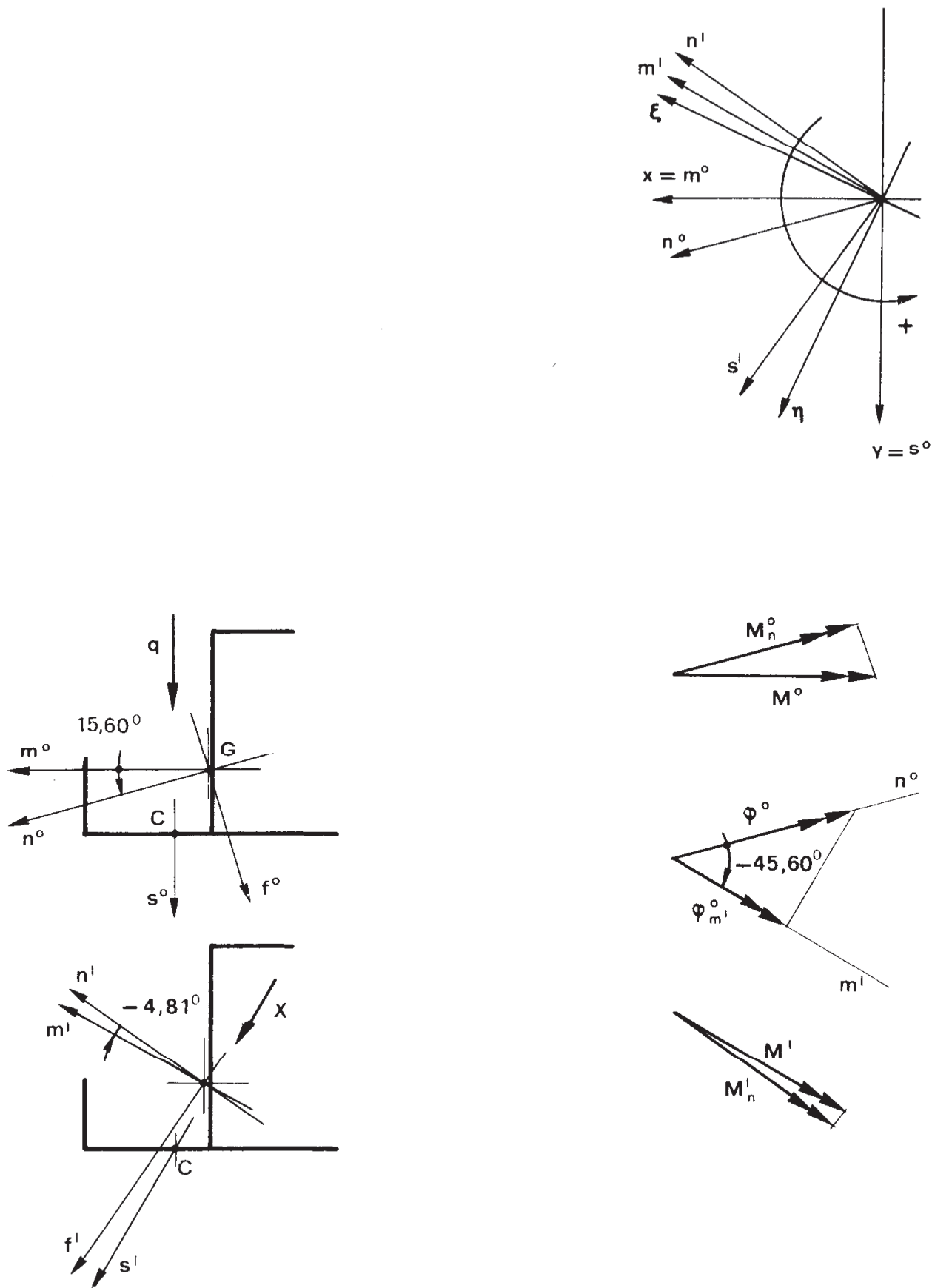


Figura 19b

$$s_B^{\circ} = \frac{q \cos (m^{\circ} n^{\circ})}{8 EI_{n^{\circ}}} l^4 .$$

dove con  $I_{n^{\circ}}$  si è indicato il momento d'inerzia rispetto all'asse  $n^{\circ}$ . La componente di tale spostamento secondo la retta  $s'$  è

$$s_{BX}^{\circ} = \frac{ql^4}{8 EI_{n^{\circ}}} \cos (m^{\circ} n^{\circ}) \cdot \cos (m' n^{\circ}) .$$

Per effetto della  $X = 1$  la sezione  $B$  trasla nella direzione  $f'$ , ortogonale ad  $n'$ , della quantità

$$s_B' = \frac{\cos (m' n')}{3 EI_{n'}} l^3 .$$

dove con  $I_{n'}$  si è indicato il momento d'inerzia rispetto all'asse  $n'$ . La componente di tale spostamento secondo la retta  $s'$  è

$$s_{BX}' = \frac{l^3}{3 EI_{n'}} \cos^2 (m' n') .$$

La condizione di congruenza

$$s_{BX}^{\circ} + X s_{BX}' = 0$$

porge

$$X = - \frac{3}{8} ql \frac{I_{n'}}{I_{n^{\circ}}} \frac{\cos (m^{\circ} n^{\circ}) \cdot \cos (m' n^{\circ})}{\cos^2 (m' n')} . \quad (88)$$

Operando attraverso il principio dei lavori virtuali si ha

$$1 \cdot 0 = \int_0^l M' \cdot (d\varphi)_{m'} = \int_0^l M' \left( \frac{M^{\circ} \cos (m^{\circ} n^{\circ})}{EI_{n^{\circ}}} \cos (n^{\circ} m') + \right. \\ \left. + X \frac{M' \cos (m' n')}{EI_{n'}} \cos (n' m') \right) dz$$

da cui

$$X = - \frac{\int_0^l M' M^{\circ} dz}{\int_0^l M'^2 dz} = \frac{I_{n'}}{I_{n^{\circ}}} \frac{\cos(m^{\circ} n^{\circ}) \cdot \cos(m' n^{\circ})}{\cos^2(n' m')}$$

Poichè è

$$\int_0^l M' M^{\circ} dz = \frac{q}{2} \int_0^l (l-z)^3 dz = -\frac{q l^4}{8}$$

$$\int_0^l M'^2 dz = \int_0^l (l-z)^2 dz = \frac{l^3}{3}$$

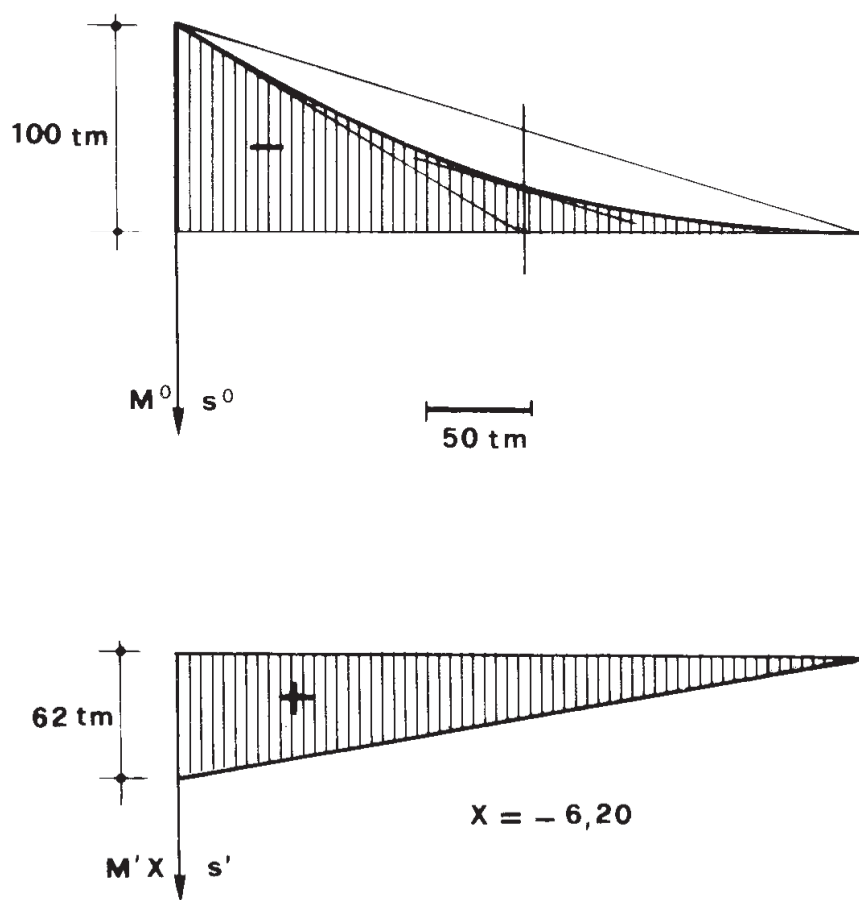


Figura 19c

si ritrova la (88).

Nella fig.19c sono disegnati i momenti flettenti dovuti ad  $M^{\circ}$  ed

$X$ ; ci si trova in presenza di una flessione deviata ad asse di sollecitazione variabile, poichè il rapporto tra i due momenti non è costante.

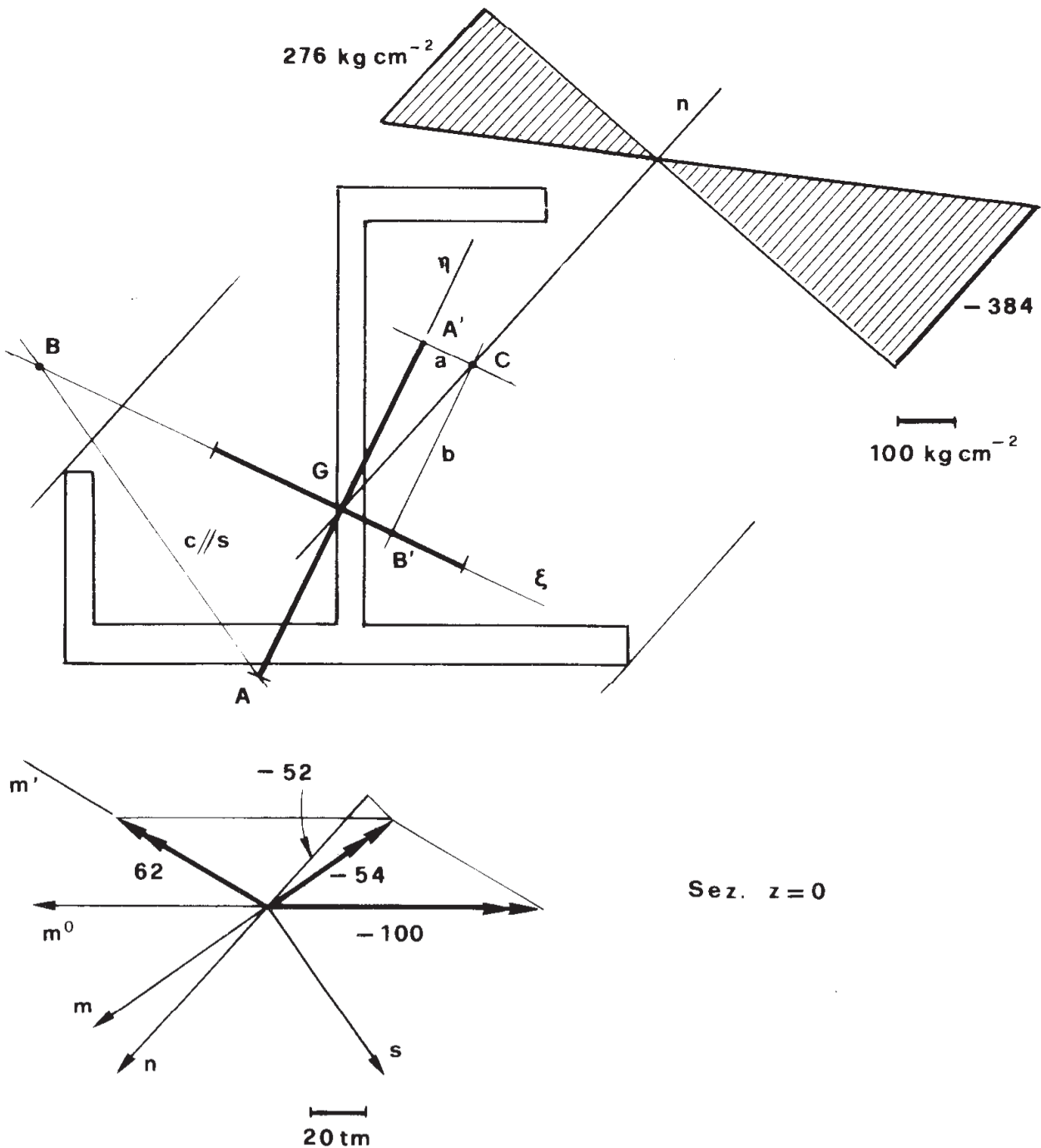


Figura 19d

Nella fig. 19d è effettuata la verifica nella sezione  $z = 0$ , dove sono presenti i momenti

$$M^o = - 100 \text{ tm}$$

secondo l'asse  $m^\circ$ , ed

$$M'X = 62 \text{ tm}$$

secondo l'asse  $m'$ . La risultante dei due vettori momento fornisce il momento totale

$$M = - 54 \text{ tm}$$

agente secondo l'asse  $m$ , orientato come in figura.

L'asse di sollecitazione  $s$  è ortogonale ad  $m$ ; la sua coniugata baricentrica, e cioè l'asse neutro  $n$ , si ottiene disegnando l'antipolo  $C$  della generica retta  $c$  parallela ad  $s$ , e congiungendo  $C$  con  $G$ .

Si ha così

$$\varphi = \xi n = 73,14^\circ$$

$$\begin{aligned} I_n &= I_\eta \operatorname{sen}^2 \varphi + I_\xi \operatorname{cos}^2 \varphi = \\ &= (0,717 \cdot 0,916 + 1,369 \cdot 0,084) 10^6 = \\ &= 0,772 \cdot 10^6 \text{ cm}^4 . \end{aligned}$$

Con riferimento ai due punti più sollecitati 1 e 2 si ha

$$\begin{aligned} \sigma_1 &= \frac{M_n}{I_n} d_{1n} = - \frac{5.200.000}{772.000} \cdot 57 = - 384 \text{ Kg cm}^{-2} \\ \sigma_2 &= \frac{M_n}{I_n} d_{2n} = \frac{5.200.000}{772.000} \cdot 41 = 276 \text{ Kg cm}^{-2} . \end{aligned}$$

Analoga verifica è riportata, nella fig. 19e, per la sezione all'ascissa  $z = 5 \text{ m}$ .

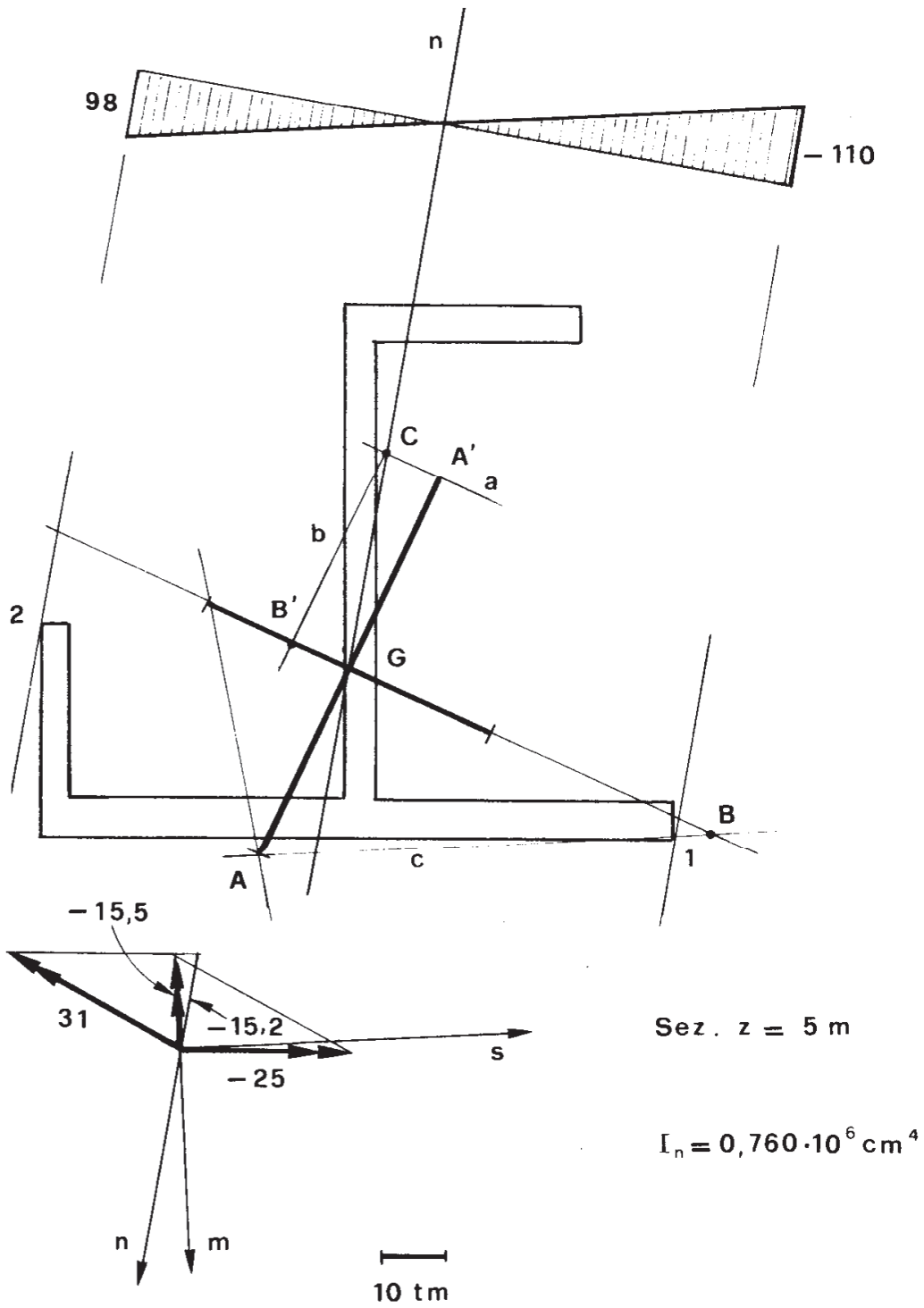


Figura 19e